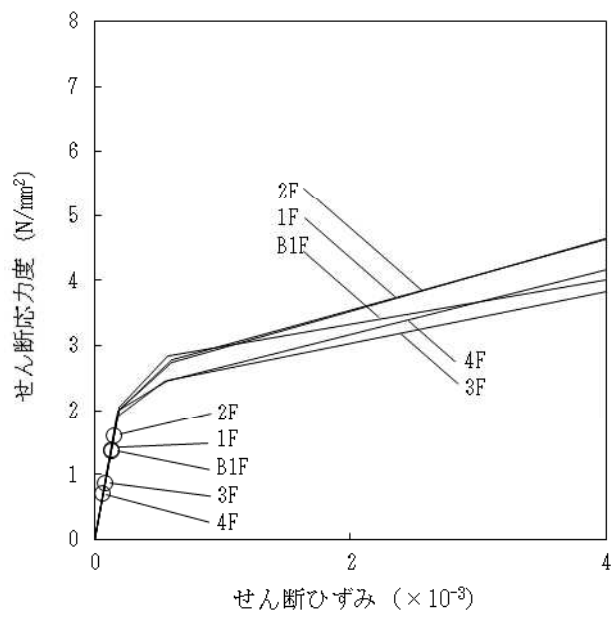
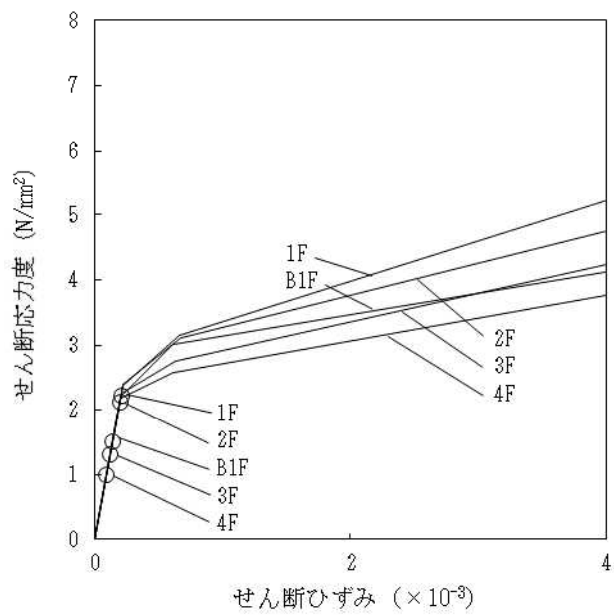


(a) NS 方向

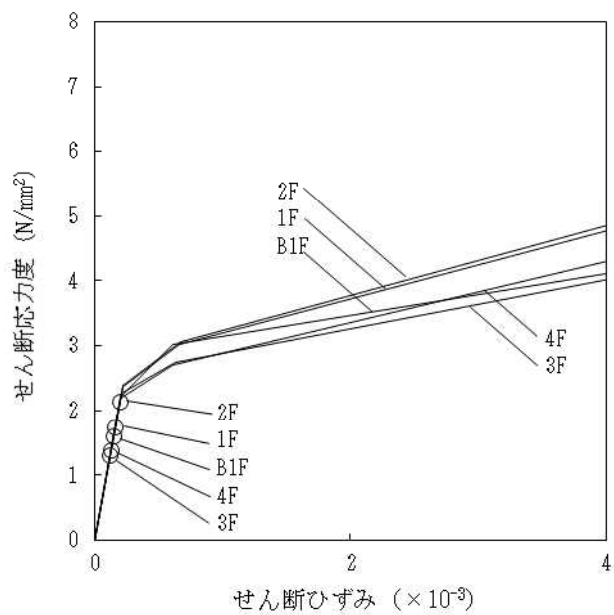


(b) EW 方向

図 5.4.6-2(1) せん断スケルトン曲線上の最大応答値 (大型カバー設置前)

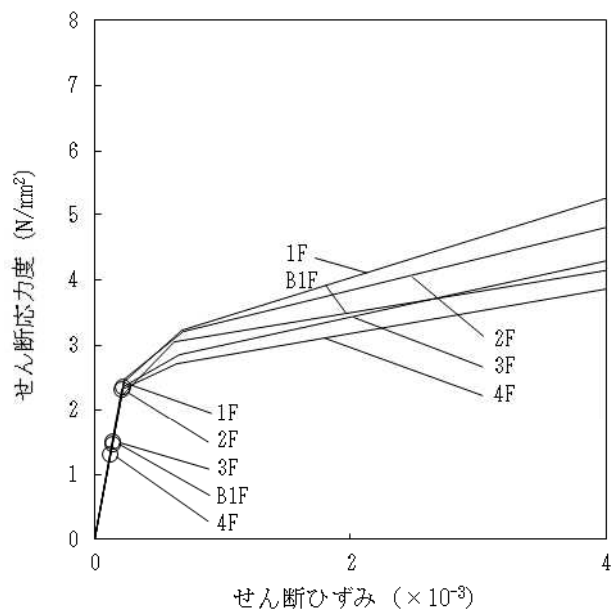


(a) NS 方向

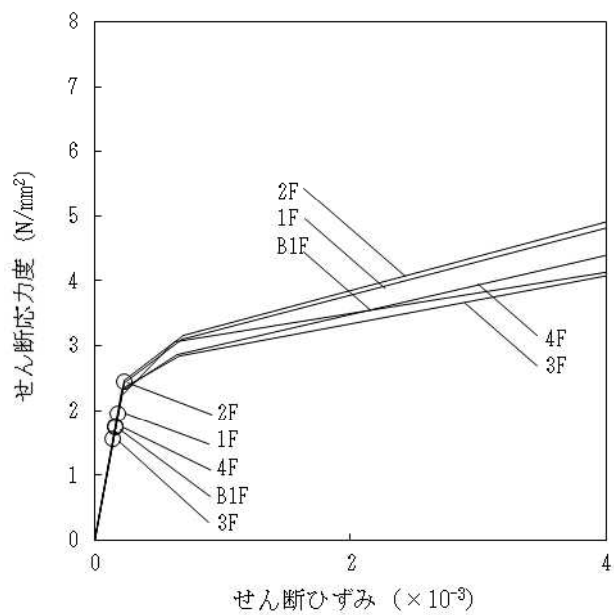


(b) EW 方向

図 5.4.6-2(2) せん断スケルトン曲線上の最大応答値 (ガレキ撤去時)

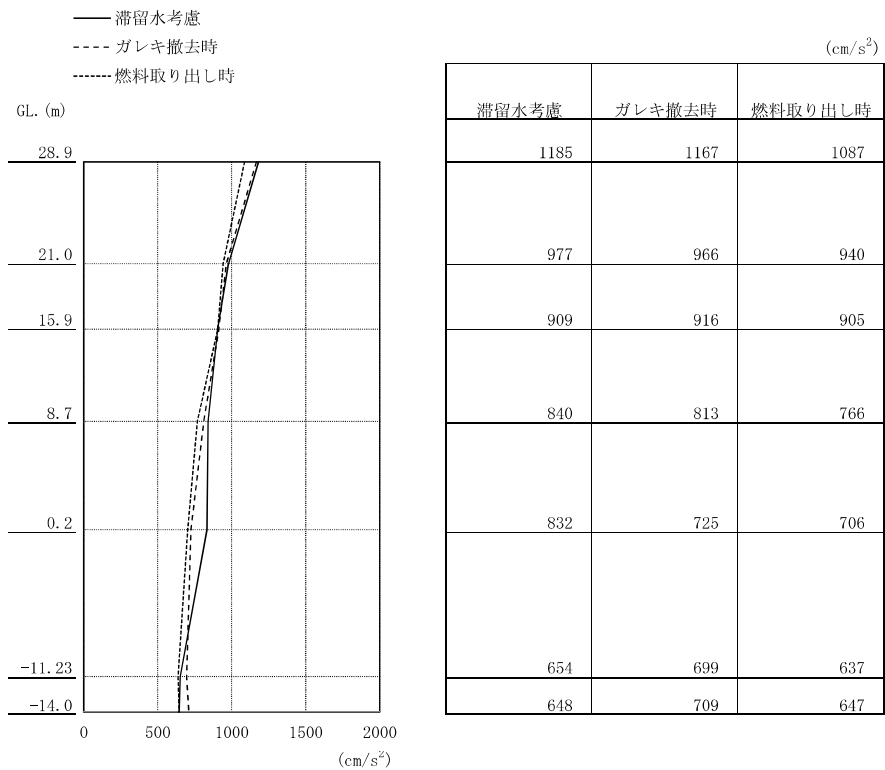


(a) NS 方向

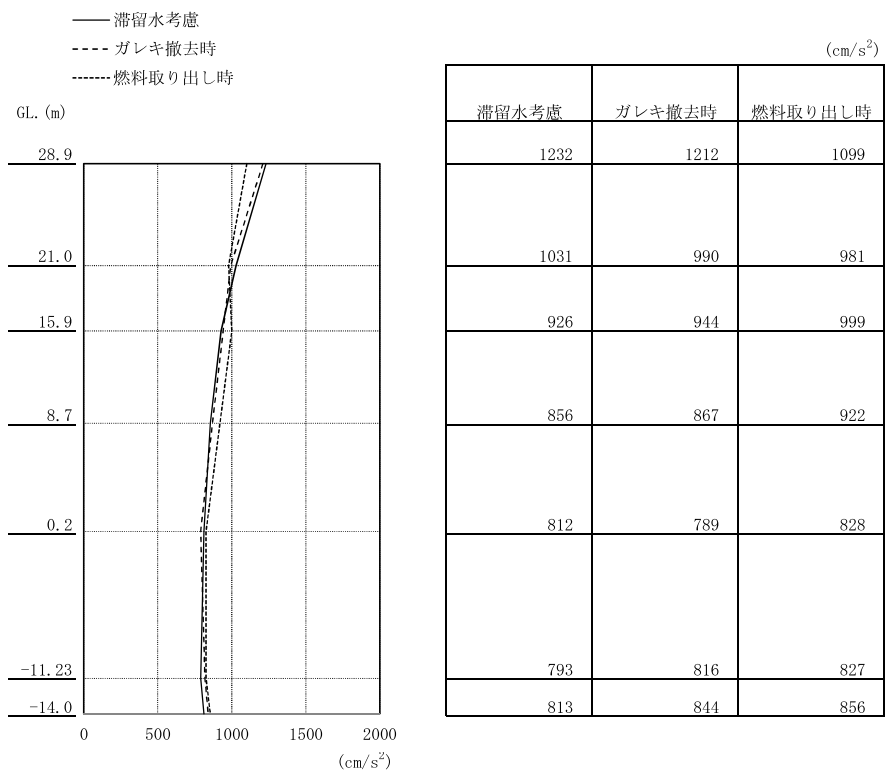


(b) EW 方向

図 5.4.6-2(3) せん断スケルトン曲線上の最大応答値 (燃料取出し時)



(a) NS 方向



(b) EW 方向

図 5.4.6-3 最大応答加速度の比較

6. 別添

- 別添－1 福島第一原子力発電所 3号機大型カバーの構造強度及び耐震性について（東京電力株式会社，平成25年2月21日，特定原子力施設監視・評価検討会（第4回）資料4）
- 別添－2 福島第一原子力発電所 3号機大型カバーの構造強度及び耐震性について（コメント回答）（東京電力株式会社，平成25年3月8日，特定原子力施設監視・評価検討会（第6回）資料5）
- 別添－3 4号機燃料取り出し用カバーに係る確認事項
- 別添－4 3号機燃料取り出し用カバーに係る確認事項
- 別添－5 3号機原子炉建屋の躯体状況調査結果を反映した使用済燃料プール等の耐震安全性評価結果
- 別添－6 3号機原子炉建屋 遮へい体設置における滑動対策について
- 別添－7 2号機燃料取り出し用構台に係る確認事項
- 別添－8 2号機原子炉建屋 オペレーティングフロア床面に設置する遮蔽体の落下防止について
- 別添－9 1号機大型カバーに係る確認事項
- 別添－10 水平2方向及び鉛直方向地震力の同時入力時に用いる模擬地震波について
- 別添－11 1号機大型カバーの構造強度及び耐震性に関する補足説明
- 別添－12 1号機原子炉建屋外壁の3次元FEM解析による耐震安全性評価

特定原子力施設監視・
評価検討会(第4回)
資料4
(第3回資料4を一部改定)

福島第一原子力発電所 3号機燃料取り出し用力バーの 構造強度及び耐震性について

平成25年2月21日
東京電力株式会社



無断複製・転載禁止 東京電力株式会社

1. 施設概要と要求機能
2. 構造概要
3. 設計概要
4. 解析モデル
5. 耐震性に対する検討結果
6. 建屋損傷の反映状況と今後の対応
 - コメント回答
 - 参考資料



無断複製・転載禁止 東京電力株式会社

※O.P.表記は震災前の「旧 O.P.表記」を指す。

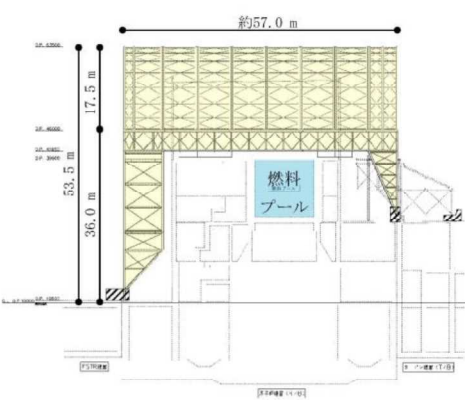
T.P.表記に換算する際は、震災後の地盤沈下量(-709mm)と O.P.から T.P.への読替値(-727mm)を用いて、下式に基づき換算する。

<換算式> T.P.=旧 O.P.-1.436mm

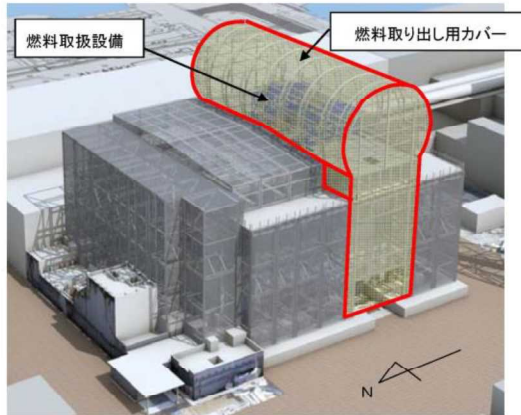
1. 施設概要と要求機能

(1) 施設概要

- 燃料取り出し用カバーは、プール内燃料の取り出しと燃料取り出し中の作業環境保持のために設置する。
- 東西約57.0m、南北約22.8m、高さ53.5m の鉄骨構造物で、周囲を鋼製の折板で覆う。



 東京電力
TEPCO

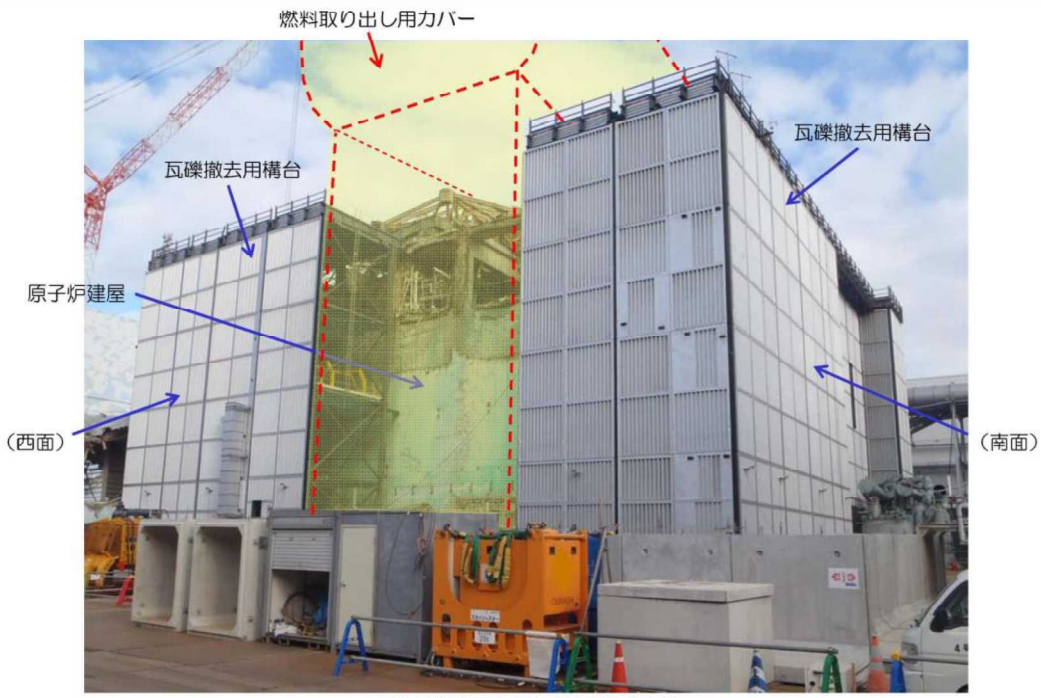


完成イメージ図 (北西側外観)

無断複製・転載禁止 東京電力株式会社

2

1. 施設概要と要求機能



3号機原子炉建屋の現況写真

(南西面、2013年1月8日撮影)

 東京電力
TEPCO

無断複製・転載禁止 東京電力株式会社

3

※O.P.表記は震災前の「旧 O.P.表記」を指す。

T.P.表記に換算する際は、震災後の地盤沈下量(-709mm)と O.P.から T.P.への読み替値(-727mm)を用いて、下式に基づき換算する。

<換算式> T.P.=旧 O.P.-1,436mm

1. 施設概要と要求機能

(2) 要求機能

1. 作業環境保持

燃料取り出し作業に支障が生じることのないよう、風雨を遮る構造とする。

2. 飛散・拡散抑制

外周覆いの隙間を低減し、排気設備によりカバー内の放射性物質の大気への放出を抑制できる構造とする。

3. 燃料取扱設備の支持

燃料取扱設備を支持できる構造とする。

(3) 使用期間

ロードマップに示した燃料取り出し作業に支障がない期間とする。

ロードマップ (2012年7月)



4

2. 構造概要

(1) 構造概要

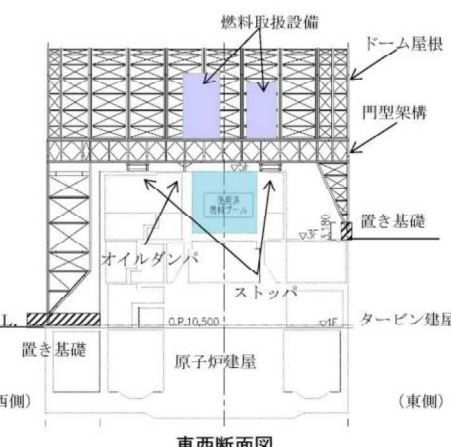
① 高線量下での建設となるため、**作業員の被ばくを最小限とする構造**とする。

- 軽量の鉄骨トラス構造を採用し、建屋上部に予め大組みした鉄骨ブロックをクレーンで吊り込むことで、現地作業の低減をはかる。
- 建屋との取り合い部は、アンカー等による固縛が不要な構造とし、現地作業の低減をはかる。

② 建屋1、3階部にコンクリート造の**置き基礎**を設け、燃料取扱い設備を支持する**門型架構**を構築する。

③ 門型架構の中央部には**ストッパ**および**オイルダンパー**を配置し、地震時の建屋との一体運動を確保する。

④ 門型架構の上部に、軽量の**ドーム屋根**を取り付けて、燃料取り出し時の作業空間を確保する。



無断複製・転載禁止 東京電力株式会社

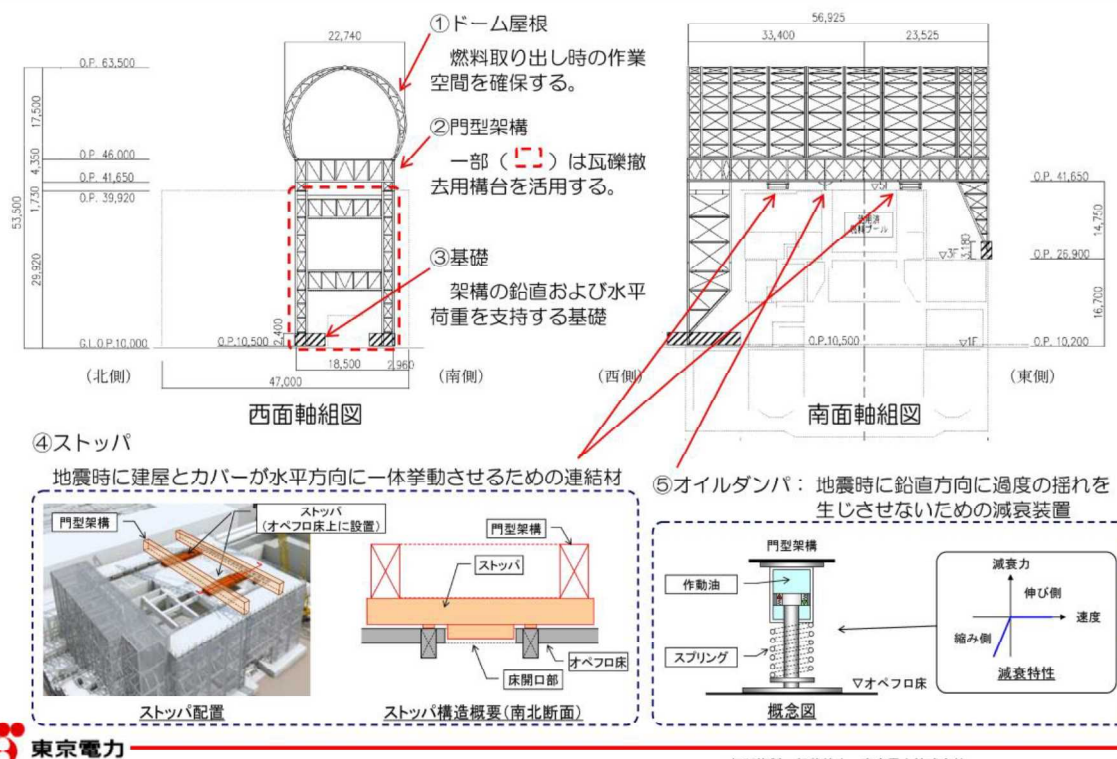
5

※O.P.表記は震災前の「旧 O.P.表記」を指す。

T.P.表記に換算する際は、震災後の地盤沈下量(-709mm)と O.P.から T.P.への読替値(-727mm)を用いて、下式に基づき換算する。

<換算式> T.P.=旧 O.P.-1.436mm

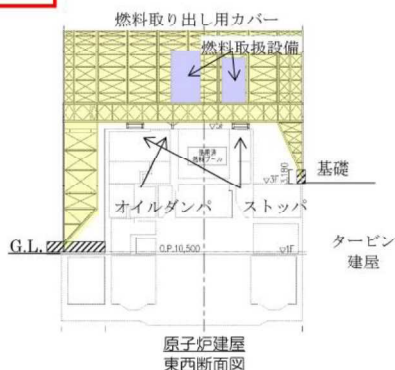
2. 構造概要



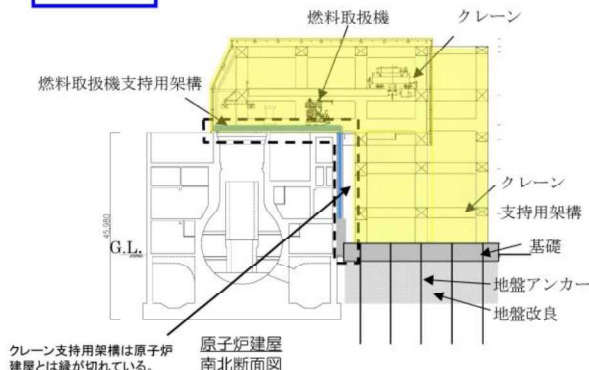
6

2. 構造概要 (2) 4号機との比較

3号機



4号機



放射線量の高い作業環境(数m~数百mSv/h)

放射線量の比較的低い作業環境(1.0mSv/h程度)

軽量の鉄骨トラス構造物とし、建屋上部に設置

大型の鉄骨柱・梁構造物とし、建屋と分離設置

小型の基礎、ストッパ等を介し建屋と一体化

地盤改良等による独立基礎で支持



現地作業を低減し作業員の被ばくを最小限とする

建屋と一体の燃料取扱機支持用架構を別途設置



東京電力

無断複製・転載禁止 東京電力株式会社

7

※O.P.表記は震災前の「旧 O.P.表記」を指す。

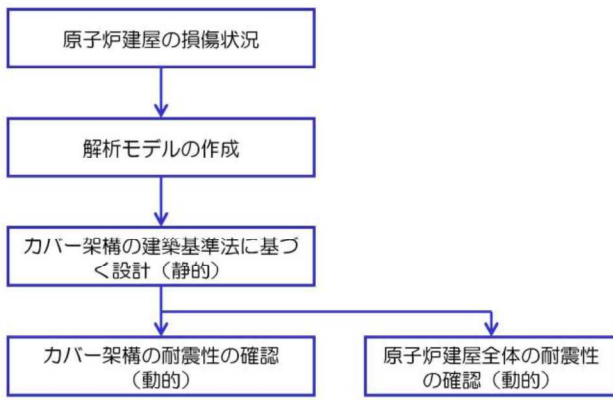
T.P.表記に換算する際は、震災後の地盤沈下量(-709mm)と O.P.から T.P.への読み替値(-727mm)を用いて、下式に基づき換算する。

<換算式> T.P.=旧 O.P.-1,436mm

3. 設計概要

設計方針

- 耐震クラスは、燃料取り出し用カバーは安全機能を有しないため定めない。
- 設計は、建築基準法（地震^{*1}、風圧力^{*2}、積雪）に基づく。
- 基準地震動Ssに対して耐震性^{*3}を確認する。



*1：建築基準法で定める地震力の1.5倍を考慮する。

*2：基準風速30m/s（10分間平均風速、最大瞬間風速50m/s相当）

*3：原子炉建屋、使用済み燃料プールおよび使用済み燃料貯蔵ラックに波及的影響を与えないこと。

(注記) その他の荷重に対する考え方

津波：燃料取り出し用カバーは鉄骨トラスと鋼製の外装材により構成されているが、閉空間になっておらず、津波襲来時には、水は燃料取り出し用カバーの裏側に回り込む。そのため、津波による波圧は生じにくい。

暴風：外装材は、設計風圧力の約4倍の耐力を有することを確認している。



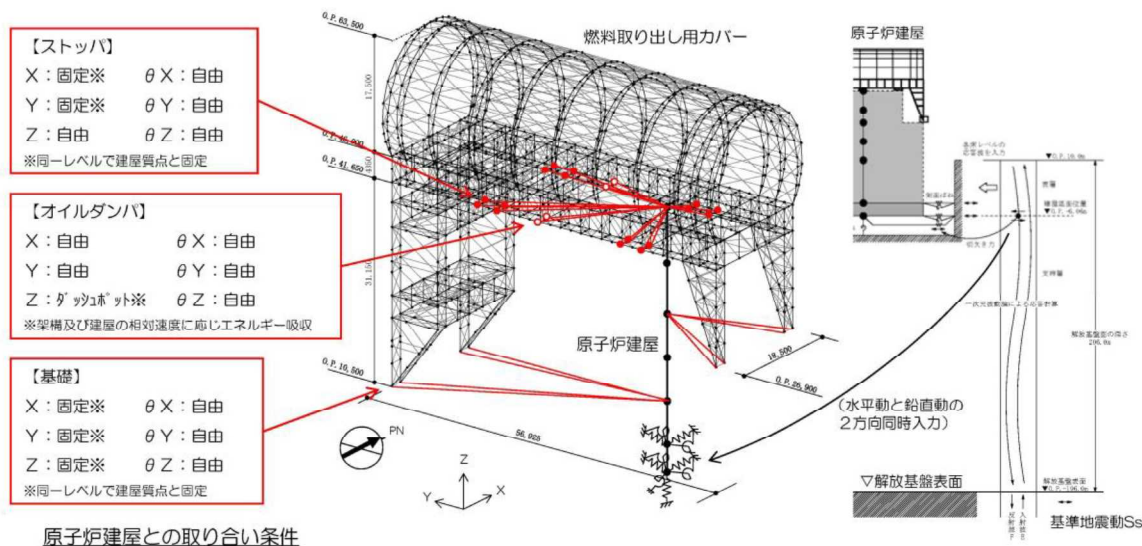
無断複製・転載禁止 東京電力株式会社

8

4. 解析モデル

基準地震動Ssに対する耐震性評価モデル

- 立体架構を原子炉建屋の質点系モデルに接続したモデルとし、地盤を等価なばねで評価した建屋-地盤連成系モデルとする。



無断複製・転載禁止 東京電力株式会社

9

※O.P.表記は震災前の「旧 O.P.表記」を指す。

T.P.表記に換算する際は、震災後の地盤沈下量(-709mm)と O.P.から T.P.への読替値(-727mm)を用いて、下式に基づき換算する。

<換算式> T.P.=旧 O.P.-1,436mm

5. 耐震性に対する検討結果

いずれも評価クライテリア以下であることを確認した。

(1) 架構の耐震性

| 部位 | 評価項目 | 検定比、最大応答値 | 評価クライテリア | 判定 |
|---------|----------|-----------|-----------|----|
| 門型架構 | 層間変形角 | 1/720 | 1/75以下 | OK |
| 門型架構 | 塑性率 | 0.75 | 5以下 | OK |
| ドーム屋根 | 塑性率 | 0.90 | 5以下 | OK |
| オイルダンパー | 相対変位 | 72 mm | 100 mm以下 | OK |
| | 相対速度 | 0.48 m/s | 1.0 m/s以下 | OK |
| ストッパ | せん断耐力比 | 0.42 | 1.0以下 | OK |
| 基礎 | 浮き上がりの有無 | 生じない | 生じないこと | OK |
| | すべり摩擦抵抗比 | 0.59 | 1.0以下 | OK |

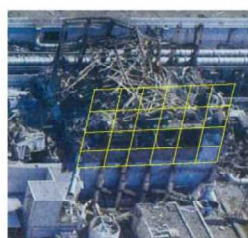
(2) 原子炉建屋の耐震性

| 部位 | 評価項目 | 検定比、最大応答値 | 評価クライテリア | 判定 |
|------------|--------|-----------------------|-------------------------|----|
| ストッパ接触部 | 支圧耐力比 | 0.54 | 1.0以下 | OK |
| オイルダンパー接触部 | 支圧耐力比 | 0.19 | 1.0以下 | OK |
| 基礎設置部 | 圧縮耐力比 | 0.29 | 1.0以下 | OK |
| 原子炉建屋 | せん断ひずみ | 0.14×10^{-3} | 4.0×10^{-3} 以下 | OK |

6. 建屋損傷の反映状況と今後の予定

(1) 建屋損傷の反映状況

- 外壁：損傷状況を解析モデルに反映
- 基礎設置部：目視調査により損傷が無いことを確認



①西面



②東面

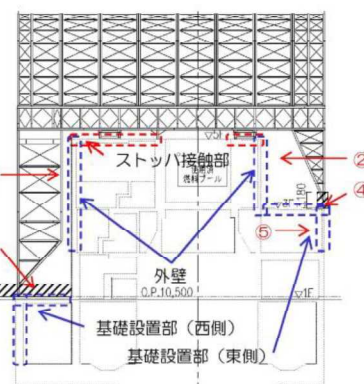
外壁



③基礎設置部（西側）



④基礎設置部（東側、外部）



東側の基礎を支持する建屋外壁



⑤基礎設置部（東側、内部）

※O.P.表記は震災前の「旧 O.P.表記」を指す。

T.P.表記に換算する際は、震災後の地盤沈下量(-709mm)と O.P.から T.P.への読替値(-727mm)を用いて、下式に基づき換算する。

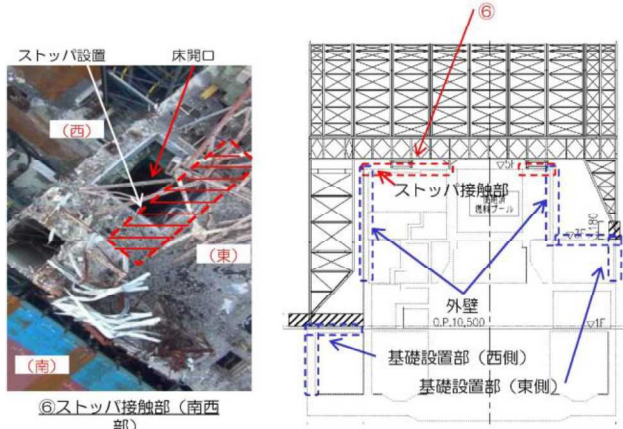
<換算式> T.P.=旧 O.P.-1.436mm

6. 建屋損傷の反映状況と今後の予定

(2) 今後の予定

- ・ストッパ接触部：瓦礫撤去後にカメラ等による無人調査を予定

今後、燃料取り出し開始前に、瓦礫撤去後予定する建屋オペプロの調査結果を基に、安全性の再確認を実施する。



無断複製・転載禁止 東京電力株式会社

12

コメント回答①

①使用期間と設計のクライテリアは密接に関係することから、3号機燃料取り出し用カバーの使用期間を明確に記載すること。仮に、燃料取り出し後も継続使用するのであれば、竜巻、あるいは地震・津波に関わる新安全設計基準にどのように対応するつもりなのかを明確にすること。

使用期間

3号機燃料取り出し用カバーの使用期間は、ロードマップに示した「使用済み燃料」取り出し作業に支障がない期間（2017年度頃まで）としている。

その後に計画している「デブリ燃料」取り出し作業に関しては、別の構造体を構築することを想定している。当該構造体については、別途申請する予定である。



無断複製・転載禁止 東京電力株式会社

13

コメント回答②

②JSCAのクライテリア（層間変形角1/75、層の塑性率4以下、部材の塑性率5以下を満足すること）については、一般の建築物に採用するクライテリアであるため、使用期間及び耐震安全性の観点から、リスク評価の観点から検討し、燃料取り出し用カバーの設計に適用して支障ないことを説明すること。特に、①とも関係し、ドーム屋根の塑性率に対する検定比が0.90となっていることは、仮に損傷を受けた場合に、補修方法も含めて問題がないか説明すること。

1. 評価には、JSCA及び日本建築センター両者のクライテリアを用いている。

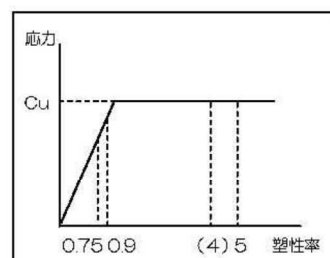
日本建築センターのクライテリアは、層間変形角1/100以下、層の塑性率2以下、部材の塑性率4以下とされており、これを越える場合には、水平変形に伴う鉛直荷重の附加的影響を考慮した解析を実施し、安全性を確認するものとされている。

コメント回答②

2. 評価結果は、JSCA及び日本建築センター両者のクライテリアに対し十分余裕がある結果となっており、十分な耐震安全性を確保している。

| 部位 | 評価項目 | 最大応答値 | 評価クライテリア | 耐震余裕 |
|-------|-------|-------|---------------------|----------------|
| 門型架構 | 層間変形角 | 1/720 | 1/75以下 (1/100以下) | 9.6倍 (7.2倍) |
| 門型架構 | 塑性率 | 0.75 | 5以下 (4以下) | 6.6倍 (5.3倍) |
| ドーム屋根 | 塑性率 | 0.90 | 5以下 (4以下) | 5.5倍 (4.4倍) |

(注) ()は、日本建築センター「時刻歴応答解析建築物性能評価業務方法書」の判定基準に基づく値を示す。



門型架構、ドーム屋根の最大塑性率

(注) Cuは、建築学会鋼構造設計規準、建築基準法告示を基に算定した座屈荷重

3. 本構造物の使用期間は、前述の通り一般の建築物に比べ短い。

➡2つのクライテリアを用いること、両者のクライテリアに対し十分余裕があること、使用期間が一般の建築物に比べ短いことから、3号機燃料取り出し用カバーの耐震性評価に適用して支障がないと考えている。

※O.P.表記は震災前の「旧 O.P.表記」を指す。

T.P.表記に換算する際は、震災後の地盤沈下量(-709mm)と O.P.から T.P.への読替値(-727mm)を用いて、下式に基づき換算する。

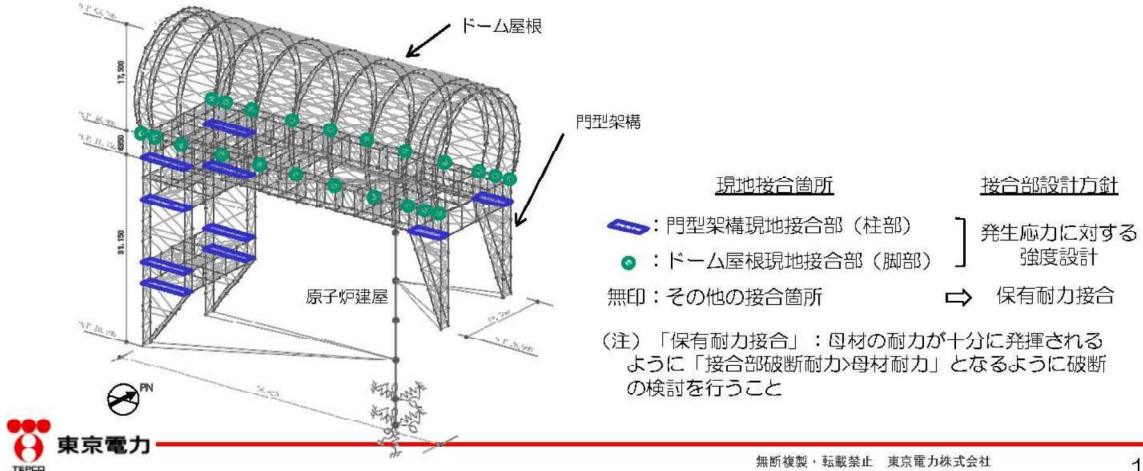
<換算式> T.P.=旧 O.P.-1.436mm

コメント回答③

③鋼構造において接合部等の詳細設計は耐震安全性を判断する上で重要な審査項目であるので、接合部等の詳細設計結果を追加報告すること。

1. 接合部の設計方針

- ・原則として、保有耐力接合（接合部で破断させない設計）とする。
- ・高線量下での作業となる一部の現地接合部については、発生応力に対する強度設計を行う。（強度余裕確保）



16

コメント回答③

2. 基準地震動Ssに対する接合部の検討結果

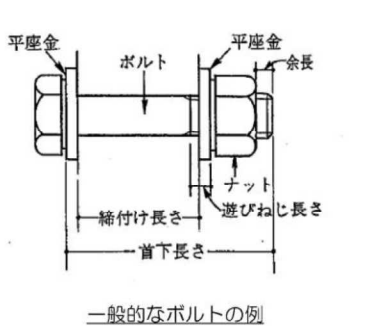
| 架構 | 検討部位 | 設計 | 検定比 (最大箇所) | 耐震余裕 |
|---------------|---------------|--------------|-------------------------------|------|
| 門型架構 | 現地接合部 (柱部) | 発生応力に対する強度設計 | $0.60 \leq 1.0$ (フランジプレート) | 1.6倍 |
| ドーム屋根 | 現地接合部 (脚部) | 発生応力に対する強度設計 | $0.36 \leq 1.0$ (スライスプレート) | 2.7倍 |
| 門型架構 ドーム屋根 | その他の接合部 | 保有耐力接合 | 接合部では破断しない | |

(注) 検定比=発生応力/接合部破断耐力

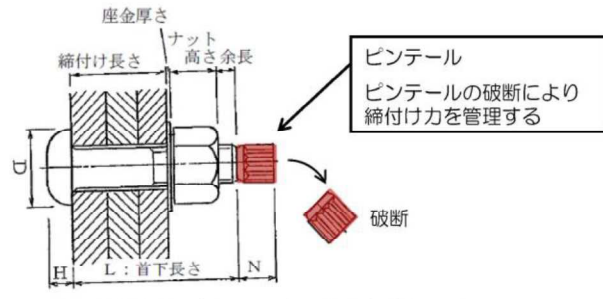
コメント回答④

④立ち入りが難しい場所で施工管理（特に接合部）の計画について説明すること。

1. 有人にて現地作業が行えるよう、除染、遮へいにより作業環境を確保する。
2. ボルト接合部については、短時間の現地作業によって安定した品質確保及び品質管理が可能なトルシア型の高力ボルト接合工法を採用する。



一般的なボルトの例



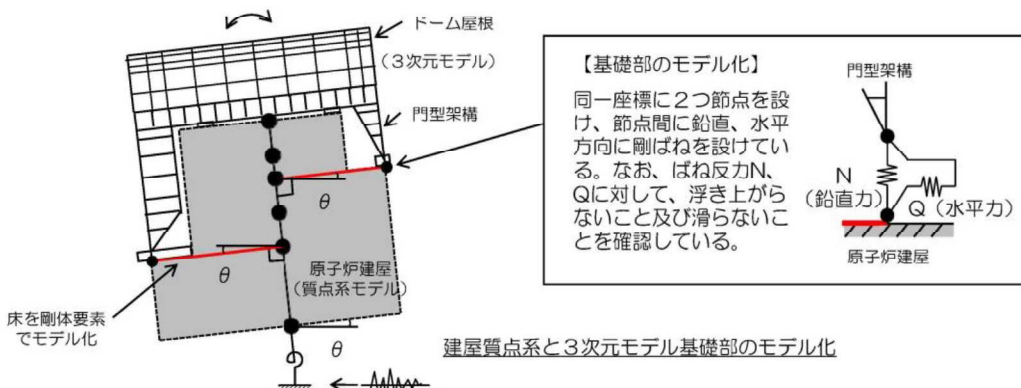
今回採用を予定しているトルシア型高力ボルト

3. 施工作品質の管理は、作業完了後に、施工会社（協力会社）が現場環境を考慮し、全数確認（遠隔操作室からのカメラまたはその他のカメラ、あるいは目視）を実施し、東京電力は抜き取りで確認を実施する。

コメント回答⑤

⑤燃料取り出し用力バーの3次元モデルと原子炉建屋の質点系モデルを連成した地震応答解析モデルにおいて、原子炉建屋の剛体的なロッキング運動による燃料取り出し用力バーへの影響（架構基礎部からの鉛直動入力及び柱脚基礎部の相対変位）を反映させていることについて説明すること。

- ・建屋のロッキング運動による影響を模擬するため、距離効果を表現できる剛体要素で建屋質点系モデルと3次元モデルの基礎部を連結する。
- ・さらに、基礎との連結部には鉛直と水平方向に剛ばねを設け、建屋から架構基礎への入力伝達が表現できる境界条件となっている。



※O.P.表記は震災前の「旧 O.P.表記」を指す。

T.P.表記に換算する際は、震災後の地盤沈下量(-709mm)と O.P.から T.P.への読替値(-727mm)を用いて、下式に基づき換算する。

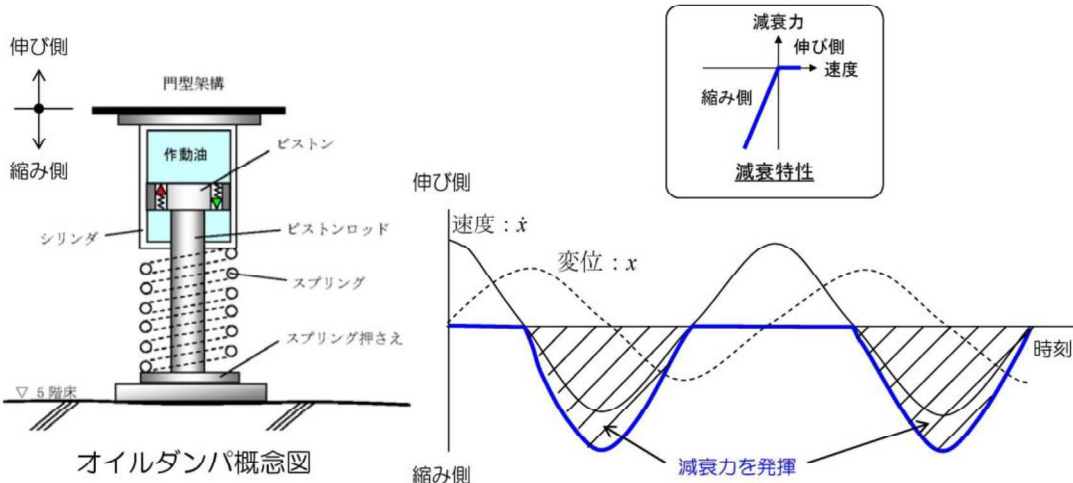
<換算式> T.P.=旧 O.P.-1,436mm

コメント回答⑥

⑥オイルダンパーの機構が分かりにくいので確認したい。資料に示された復元力特性は、横軸が速度で良いかについて確認したい。

オイルダンパーの減衰特性の横軸は速度を示している。

オイルダンパーは、地震時に上下方向の縮み側に変形する場合に減衰力が発生し、伸び側に変形する場合にフリーとなる機構を有している。



東京電力
TEPCO

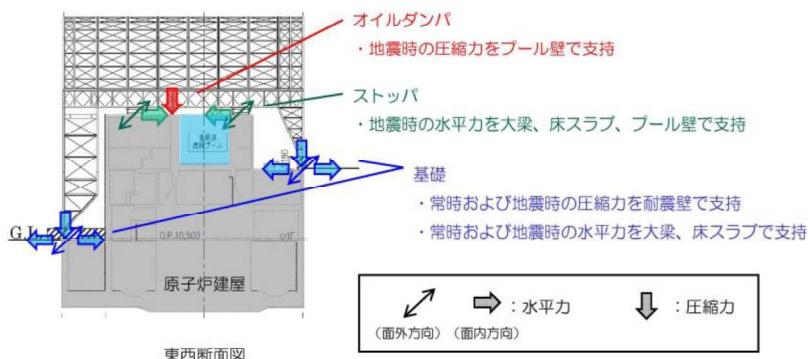
無断複製・転載禁止 東京電力株式会社

20

コメント回答⑦

⑦今回設置する構造物の荷重が原子炉建屋にどのようにかかるのか。建屋力バー（燃料取り出し用カバー）を考慮した場合と考慮しない場合の建屋の耐震上の余裕の変化を主要な部分についてまとめて示して欲しい。

- ・燃料取り出し用カバーからの荷重は、ストッパ接触部、オイルダンパ接触部、基礎設置部から原子炉建屋に作用する。
- ・接触部の原子炉建屋躯体については、耐震安全性を確認している。（構造強度 p.43、耐震性p.67）



東京電力
TEPCO

無断複製・転載禁止 東京電力株式会社

21

※O.P.表記は震災前の「旧 O.P.表記」を指す。
T.P.表記に換算する際は、震災後の地盤沈下量(-709mm)と O.P.から T.P.への読替値(-727mm)を用いて、下式に基づき換算する。
<換算式> T.P.=旧 O.P.-1.436mm

コメント回答⑦

- ・力バー設置前後の、原子炉建屋重量および、建屋の主要な耐震安全指標として、基準地震動Ssによる耐震壁の評価結果を以下に示す。
- ・原子炉建屋に対して、力バー設置による影響はほとんど見られない。



東京電力
TEPCO

無断複製・転載禁止 東京電力株式会社

22

コメント回答⑧

⑧燃料取り出し用力バー東側の2つの支点を支える置き基礎の直下、あるいはダンパーの直下の既存コンクリート接触部の鉛直耐力は局所的な損傷等を考慮し十分な余裕を見ているか。あるいは補強などは行わないのか。

- ・燃料取り出し用力バーの基礎およびオイルダンパーの支点は、直下に強固な耐震壁（オイルダンパー部はプール壁）のある部分に設定している。
- ・Ss地震時の評価結果は、以下に示す通り3倍以上の余裕のある結果となっている。

原子炉建屋接触部の耐震安全性評価結果

| 部位 | 検討用応力 (kN) | 耐力 (kN) | 耐力比 | 裕度 |
|---------|---------------|------------|------|-----|
| 東側基礎 | 7130 | 25900 | 0.29 | 3.1 |
| オイルダンパー | 1250 | 6620 | 0.19 | 5.2 |

東京電力
TEPCO

無断複製・転載禁止 東京電力株式会社

23

コメント回答⑨

⑨東側置き基礎の滑り摩擦抵抗は直下に接する既存コンクリート部の損傷、凹凸など考慮したものになっているか。

- ・基礎は現地で既存コンクリート上部にコンクリートを流し込む方法で構築している。従って、凹凸などに対し密着性を確保している。
- ・日本建築学会「現場打ち同等型プレキャストコンクリート構造設計指針(案)・同解説(2002)」に様々な条件下での摩擦係数が規定されている。今回の基礎底面の摩擦抵抗は凹凸などは考慮せず、コンクリートーコンクリート間に相当すると考え、摩擦係数として0.6を採用している。

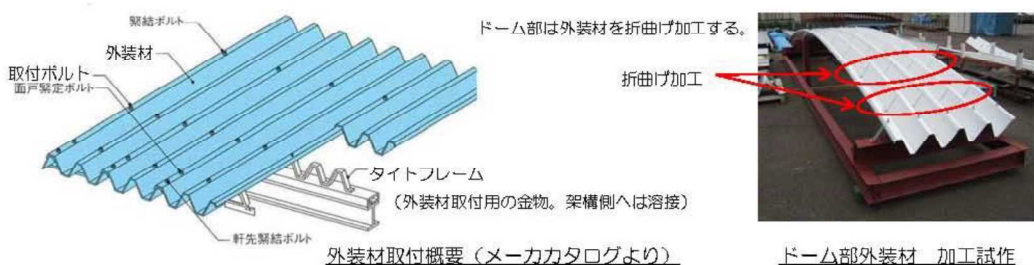
| 境界面の状態 | 摩擦係数 |
|-----------------------|------|
| コンクリートーコンクリート間 | 0.6 |
| 目荒ししたコンクリートーコンクリート間 | 1.0 |
| 一体で打設したコンクリートーコンクリート間 | 1.4 |

- ・なお、米国規準(ACI 318)でも、日本建築学会と同様、0.6の摩擦係数が規定されている。

コメント回答⑩

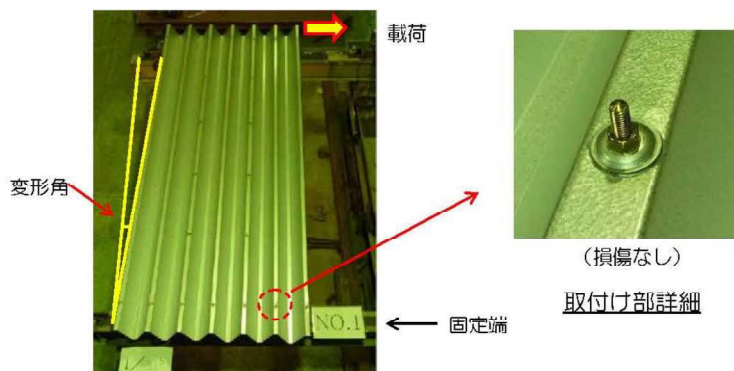
⑩燃料取り出し用力バーの外装材の耐震性は大丈夫か(地震時の層間変形に対して安全な構法か、特に東西面の円形部分)。

- ・外装材は下図に示す通り、ボルトを用いてタイトフレームを介して直接架構に取付ける納まりとなっている。



コメント回答⑩

- ・変形に対する外装材の追従性の確認試験を行い、外装材の変形角1/30でも外装材は外れず、地震時の変形に対して追従性があることを確認している。



外装材せん断試験結果（変形角1/30）

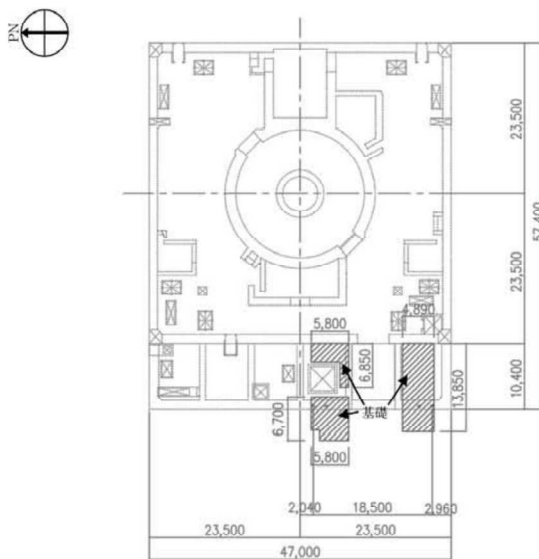
【参考資料】

※O.P.表記は震災前の「旧 O.P.表記」を指す。

T.P.表記に換算する際は、震災後の地盤沈下量(-709mm)と O.P.から T.P.への読替値(-727mm)を用いて、下式に基づき換算する。

<換算式> T.P.=旧 O.P.-1,436mm

参考1 構造概要



(a) 基礎伏図 (O.P.10,500 原子炉建屋1階レベル+300mm)

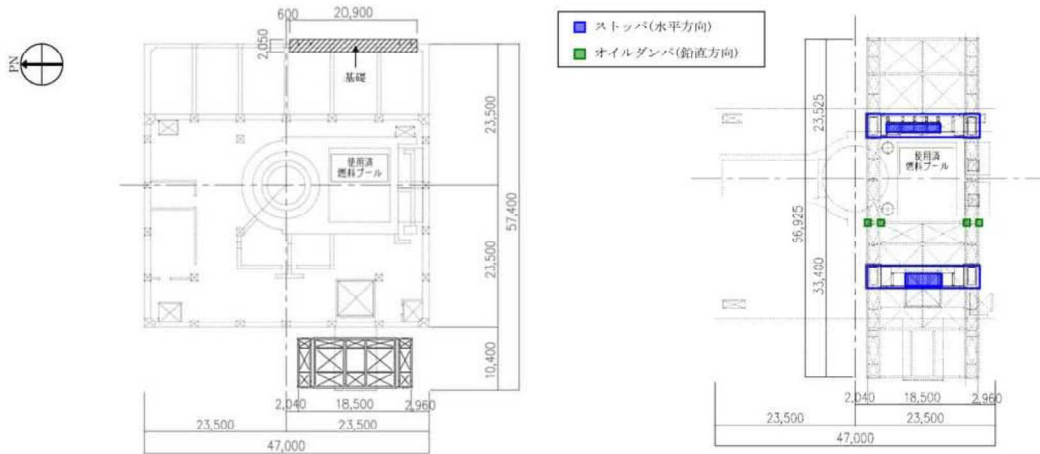
燃料取り出し用カバーの概要 (単位: mm)



無断複製・転載禁止 東京電力株式会社

28

参考1 構造概要



(a) 基礎伏図 (O.P.26,900 原子炉建屋3階)

(b) 梁伏図 (O.P.26,900 原子炉建屋5階)

燃料取り出し用カバーの概要 (単位: mm)



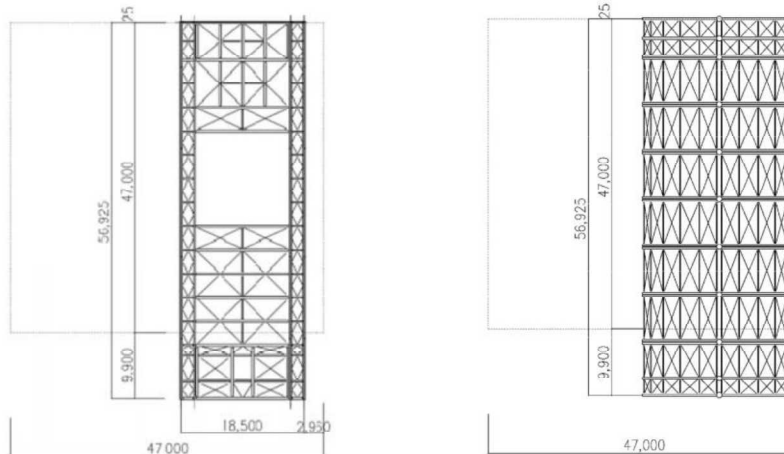
無断複製・転載禁止 東京電力株式会社

29

※O.P.表記は震災前の「旧 O.P.表記」を指す。

T.P.表記に換算する際は、震災後の地盤沈下量(-709mm)と O.P.から T.P.への読替値(-727mm)を用いて、下式に基づき換算する。
<換算式> T.P.=旧 O.P.-1,436mm

参考1 構造概要



(a) 架構ガーダー部平面図 (O.P.46,000)

(b) 屋根伏図

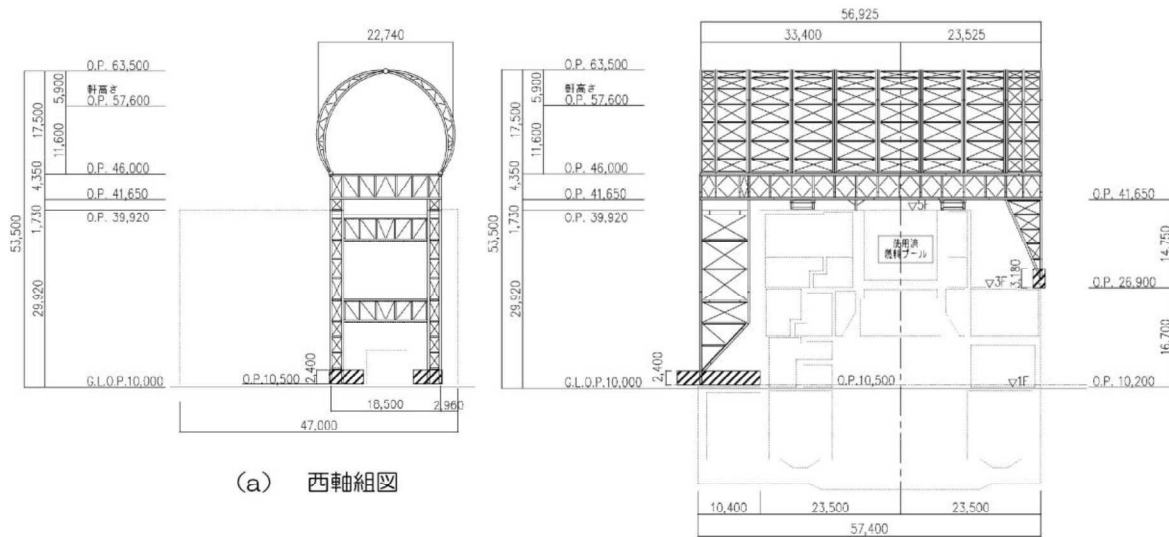
燃料取り出し用カバーの概要 (単位: mm)



無断複製・転載禁止 東京電力株式会社

30

参考1 構造概要



(a) 西軸組図

(b) 南軸組図

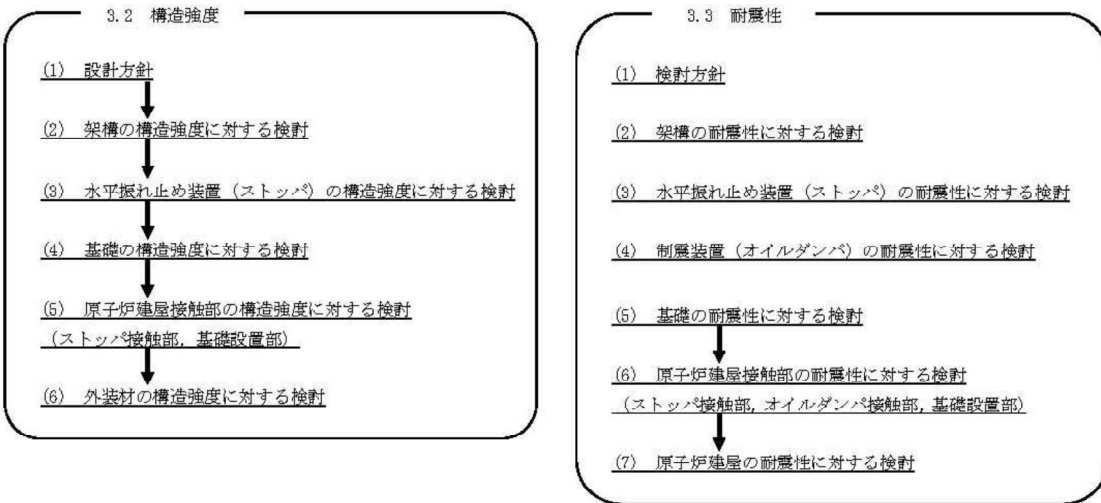
燃料取り出し用カバーの概要 (単位: mm)



無断複製・転載禁止 東京電力株式会社

31

参考2 検討フロー



参考3 構造強度

(1) 設計方針

1) 使用材料及び許容応力度

材料定数

| 部位 | 材料 | ヤング係数 E (N/mm ²) | ポアソン比 ν | 単位体積重量 γ (kN/m ³) |
|----|--------|---------------------------------|------------|----------------------------------|
| 架構 | 鉄骨 | 2.05×10 ⁵ | 0.3 | 77.0 |
| 基礎 | コンクリート | 2.27×10 ⁴ | 0.2 | 24.0 |

コンクリートの許容応力度 (単位 : N/mm²)

| 設計基準強度=24 | | 長期 | | 短期 | |
|-----------|--|-----|----|------|------|
| | | 圧縮 | 引張 | 圧縮 | 引張 |
| | | 8.0 | — | 0.73 | 16.0 |

鉄筋の許容応力度

| 記号 | 鉄筋径 | 長期 | | 短期 | |
|-------|-------|--------|-------|--------|-------|
| | | 引張及び圧縮 | せん断補強 | 引張及び圧縮 | せん断補強 |
| SD345 | D29未満 | 215 | 195 | 345 | 345 |
| | D29以上 | 195 | — | — | 1.095 |

構造用鋼材の許容応力度

| 板厚 | 材料 | 基準強度F | 許容応力度 |
|--------|------------------------|-------|-------------------------|
| T≤40mm | SS400, SN400B | 235 | — |
| T>40mm | SN400B | 215 | — |
| T≤40mm | SM490A, SN490B, STK490 | 325 | 「鋼構造設計規準」に従い、左記Fの値より求める |
| — | STKT590 | 440* | — |

* 「JIS G 3474-2008」による

※O.P.表記は震災前の「旧 O.P.表記」を指す。

T.P.表記に換算する際は、震災後の地盤沈下量(-709mm)と O.P.から T.P.への読替値(-727mm)を用いて、下式に基づき換算する。

<換算式> T.P.=旧 O.P.-1,436mm

参考3 構造強度

(1) 設計方針

2) 荷重及び荷重組合せ

・鉛直荷重 (VL)

燃料取り出し用カバーに作用する鉛直方向の荷重で、固定荷重、機器荷重、配管荷重及び積載荷重とする。

・燃料取扱設備荷重 (CL)

| | |
|-------|--------|
| 燃料取扱機 | 788 kN |
| クレーン | 755 kN |
| 吊荷 | 461 kN |

・積雪荷重 (SL)

積雪荷重は建築基準法施行令及び福島県建築基準法施行規則細則に準拠し以下の条件とする。

積雪量：30cm、単位荷重：20N/m²/cm

・風圧力 (WL)

建築基準法施行令第87条に基づき、基準風速を30m/s、地表面粗度区分Ⅱとして算定する。

| 建物高さ* | 平均風速の 鉛直分布係数 | ガスト 影響係数 | 建物高さと 粗度区分 による係数 | 基準風速 | 速度圧 |
|----------|-----------------|-------------|------------------------|-------------------------|--------------------------|
| H (m) | Er | Gf | E | V _o (m/s) | a (N/m ²) |
| 50.55 | 1.27 | 2.00 | 3.23 | 30 | 1750 |



* : 建物高さは、軒高さ(47.60m)と最高高さ(53.50m)の平均値とした

無断複製・転載禁止 東京電力株式会社

34

参考3 構造強度

(1) 設計方針

2) 荷重及び荷重組合せ

・地震荷重 (K)

燃料取り出し用カバーに作用させる地震荷重は、O.P.-2.06m（原子炉建屋基礎スラブ上端レベル）を基準面とした原子炉建屋の水平地震力の算定結果より設定する。原子炉建屋の水平地震力は下式より算定する。

$$Q_i = n \cdot C_i \cdot W_i$$

$$C_i = Z \cdot R_t \cdot A_i \cdot C_0$$

Q_i : 水平地震力 (kN)

n : 施設の重要度に応じた係数 (n=1.5)
建築基準法で定める地震力の1.5倍を考慮する。

C_i : 地震層せん断力係数

Z : 地震地域係数 (Z=1.0)

R_t : 振動特性係数 (R_t=1.0)

A_i : 地震層せん断力係数の高さ方向の分布係数で、
原子炉建屋の固有値を用いたモーダル解析法（二乗和平方根法）より求める。

C₀ : 標準せん断力係数 (C₀=0.2)



無断複製・転載禁止 東京電力株式会社

35

※O.P.表記は震災前の「旧 O.P.表記」を指す。

T.P.表記に換算する際は、震災後の地盤沈下量(-709mm)と O.P.から T.P.への読替値(-727mm)を用いて、下式に基づき換算する。

<換算式> T.P.=旧 O.P.-1,436mm

参考3 構造強度

(1) 設計方針

2) 荷重及び荷重組合せ

・地震荷重 (K)

i層の水平震度は下式より算定する。

$$P_i = Q_i - Q_{i-1}$$

$$k_i = P_i / w_i$$

P_i : 当該階とその直下の水平地震力の差 (kN)

w_i : 各階重量 (kN)

架構に作用させる水平震度は、原子炉建屋1階、3階及び5階の水平震度を用いるものとし、水平地震力を設定する。ドーム屋根部分の水平震度は、建設省告示第1389号に基づく1.0に1.5を乗じて用いる。表3.2-7に燃料取り出し用カバーに作用させる水平地震力の算定結果を示す。

水平地震力の算定結果

| 標高 O.P.(m) | 各階重量 w_i (kN) | NS方向 | | EW方向 | |
|---------------|--------------------|---------------|---------------------|---------------|---------------------|
| | | 水平震度 k_i | 水平地震力 P_i (kN) | 水平震度 k_i | 水平地震力 P_i (kN) |
| 63.50 | 3200 | 1.500 | 4800 | 1.500 | 4800 |
| 46.00 | 11400 | 0.492 | 5609 | 0.555 | 6327 |
| 26.90 | 200 | 0.286 | 57 | 0.272 | 54 |
| 10.20 | 1200 | 0.099 | 119 | 0.103 | 124 |



無断複製・転載禁止 東京電力株式会社

36

参考3 構造強度

(1) 設計方針

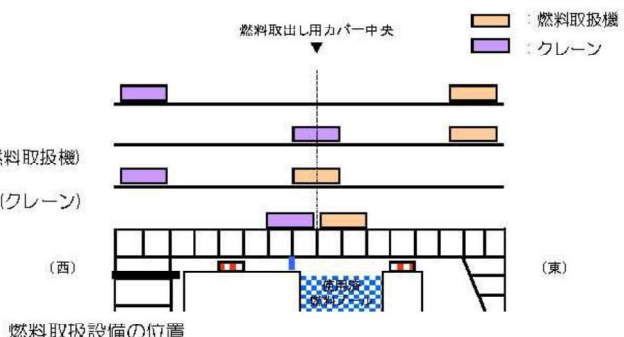
2) 荷重及び荷重組合せ

位置A：両端

位置B：中央(クレーン)+東端(燃料取扱機)

位置C：中央(燃料取扱機)+西端(クレーン)

位置D：中央



燃料取扱設備の位置

燃料取り出し用カバーの荷重組合せ

| 想定する状態 | 荷重ケース | 荷重組合せ内容 | 許容応力度 |
|--------|-------|--------------------|-------|
| 常時 | C | VL+CL *1 | 長期 |
| 積雪時*3 | S | VL+CL *1+SL | |
| 暴風時*3 | W | VL+CL *1+WL | |
| 地震時 | E1 | VL+CL *1+K(+NS) *2 | 短期 |
| | E2 | VL+CL *1+K(-NS) *2 | |
| | E3 | VL+CL *1+K(+EW) *2 | |
| | E4 | VL+CL *1+K(-EW) *2 | |

*1：吊荷荷重は、常時、積雪時及び暴風時は上図に示すクレーンの位置、地震時は使用済燃料プール直上の架構にて考慮する。
*2：地震荷重はNS方向及びEW方向を考慮する。

*3：短期事象では地震時が支配的であることから、積雪時及び暴風時の検討は省略する。
ただし、外装材の検討は暴風時が支配的であることから暴風時にに対し検討を行う。



無断複製・転載禁止 東京電力株式会社

37

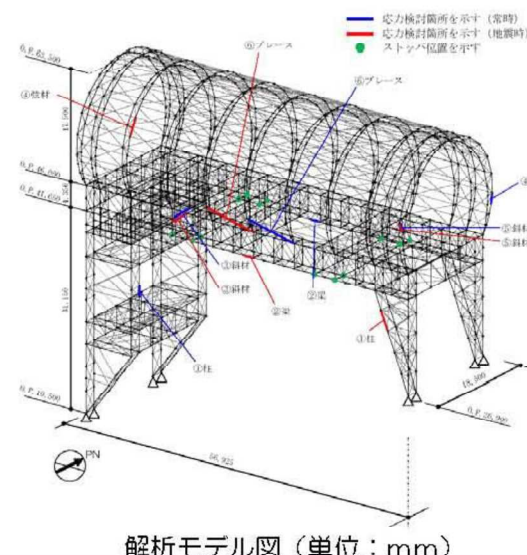
※O.P.表記は震災前の「旧 O.P.表記」を指す。
T.P.表記に換算する際は、震災後の地盤沈下量(-709mm)と O.P.から T.P.への読替値(-727mm)を用いて、下式に基づき換算する。
<換算式> T.P.=旧 O.P.-1,436mm

参考3 構造強度

(2) 架構の強度設計構造強度に対する検討

1) 解析モデル

架構の解析モデルは、門型架構及びドーム屋根を構成する主要な鉄骨部材からなる立体架構モデルとする。下図に架構の立体解析モデルを示す。解析モデルの柱脚部はピン支持、ストッパ取り付き部は水平方向のみピン支持とする。



解析モデル図 (単位: mm)

参考3 構造強度

(2) 架構の強度設計構造強度に対する検討

2) 断面検討

応力度比の検討は「鋼構造設計規準」に従い、検討を行う。

全ての部材に対する応力度比が1以下になることを確認した。

断面検討結果 (常時)

| 部位 ^{*1} | | 部材形状 (mm) (使用材料) | 荷重ケース (位置) ^{*2} | 作用 応力度 (N/mm ²) | 許容 応力度 (N/mm ²) | 応力度比 | 判定 |
|------------------|--------|---------------------------------|-----------------------------|-----------------------------------|-----------------------------------|------|---------|
| 門型 架構 | ① 柱 | H-350×350 ×12×19 (SM490) | C (D) | 圧縮 | 77.4 | 164 | 0.48 OK |
| | ② 梁 | H-350×350 ×12×19 (SM490) | C (D) | 引張 | 91.4 | 216 | 0.43 OK |
| | ③ 斜材 | 2ls-150×75 ×65×10 (SM490) | C (D) | 圧縮 | 103.0 | 120 | 0.86 OK |
| ドーム 屋根 | ④ 弦材 | ø-318.5×6.9 (STKT590) | C (B) | 引張 | 33.5 | 293 | 0.12 OK |
| | ⑤ 斜材 | ø-139.8×4.5 (STK490) | C (B) | 圧縮 | 43.4 | 203 | 0.22 OK |
| | ⑥ プレース | ø-114.3×4.5 (STK490) | C (D) | 圧縮 | 19.4 | 92 | 0.22 OK |

*1: ①～⑥の符号はP24の応力検討箇所を示す

*2: P23に示す燃料取扱設備の位置を示す

参考3 構造強度

(2) 架構の強度設計構造強度に対する検討

2) 断面検討

断面検討結果（地震時）

| 部 位*1 | | | 部材形状 (mm) <使用材料> | 荷重ケース (位置)*2 | 作用 応力度 (N/mm ²) | 許容 応力度 (N/mm ²) | 応力度比 | 判定 |
|-----------|---|------|----------------------------------|-----------------|-----------------------------------|-----------------------------------|------|------|
| 門型 架構 | ① | 柱 | H-350×350 ×12×19 <SM490> | E1 (D) | 圧縮 138.9 | 289 | 0.49 | O.K. |
| | ② | 梁 | H-350×350 ×12×19 <SM490> | E1 (D) | 引張 108.3 | 324 | 0.34 | O.K. |
| | ③ | 斜材 | 2[s-150×75 ×6.5×10 <SM490> | E1 (D) | 圧縮 164.5 | 180 | 0.92 | O.K. |
| ドーム 屋根 | ④ | 弦材 | ø-267.4×6.6 <STK-T590> | E1 (D) | 圧縮 155.2 | 396 | 0.40 | O.K. |
| | ⑤ | 斜材 | ø-139.8×4.5 <STK490> | E3 (A) | 圧縮 165.8 | 304 | 0.55 | O.K. |
| | ⑥ | プレース | ø-114.3×4.5 <STK490> | E3 (D) | 圧縮 80.6 | 138 | 0.59 | O.K. |

*1 : ①～⑥の符号はP24の応力検討箇所を示す

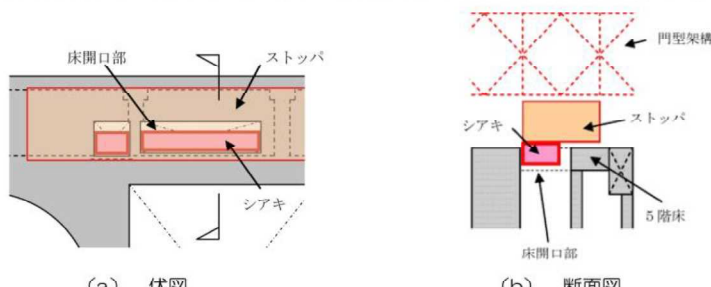
*2 : P23に示す燃料取扱設備の位置を示す

参考3 構造強度

(3) 水平振れ止め装置（ストップ）の構造強度に対する検討

架構と原子炉建屋を結んだバネ材に発生する水平力の最大値が、床開口に差し込むシアキの短期許容せん断力以下であることを確認する。全ての部材に対する応力度比が1以下になることを確認した。

なお、原子炉建屋と水平振れ止め装置（ストップ）の接触部については、設置前において、本説明書で想定しているように、施工に十分な状況かどうか、雰囲気線量等の作業安全性を鑑みながら、可能な範囲で確認した点検結果を別途報告するとともに、不具合が見つかった場合には適切に補修等を実施する。



ストップ概要図

全てのストップに対する応力比が1以下になることを確認した。

断面検討結果（常時）

| 部位 | 荷重ケース (位置)* | ストップ反力 Q(kN) | 短期許容せん断力 Qa(kN) | 応力比 Q/Qa | 判定 |
|--------|----------------|-----------------|--------------------|-------------|------|
| 東側ストップ | E4 (A) | 2560 | 8620 | 0.30 | O.K. |

* : P23に示す燃料取扱設備の位置を示す

参考3 構造強度

(4) 基礎の構造強度に対する検討

基礎の浮き上がりに対しては基礎反力（圧縮力を正）の最小値が0以上であることを確認し、基礎のすべりに対しては基礎反力の水平力が許容摩擦力以下であることを確認する。

なお、基礎底面の摩擦係数は「現場打ち同等型プレキャスト鉄筋コンクリート構造設計指針(案)・同解説(2002)」に準じて、0.6とする。

基礎浮き上がりの検討の結果、全ての基礎の最小圧縮力が0以上であることを確認した。

基礎浮き上がりの検討結果

| 部位 | 荷重ケース (位置) * | 最小圧縮力 N(kN) | 判定 |
|--------------|-----------------|----------------|----|
| 東側柱脚 (北側) | E1 (C) | 1990 | OK |

* : P23に示す燃料取扱設備の位置を示す

基礎すべりの検討の結果、全ての基礎に対する応力比が1以下になることを確認した。

基礎すべりの検討結果

| 部位 | 荷重ケース (位置) * | 水平力 Q(kN) | 許容摩擦力 V _a (kN) | 応力比 Q/V _a | 判定 |
|------|-----------------|--------------|------------------------------|-------------------------|----|
| 東側柱脚 | C (D) | 2410 | 5270 | 0.46 | OK |
| | E4 (D) | 2430 | 4580 | 0.54 | OK |

* : P23に示す燃料取扱設備の位置を示す

参考3 構造強度

(5) 原子炉建屋接触部の構造強度に対する検討

1) ストップ接觸部

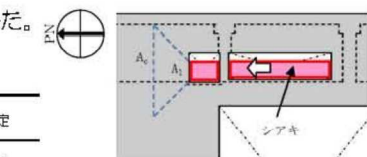
ストップ接觸部の構造強度の検討では、ストップ水平反力が、既存躯体の短期許容支圧力以下になることを確認する。なお、許容支圧応力度は、原子炉建屋の設計基準強度(22.1 N/mm^2)を用いて「プレストレストコンクリート設計施工規準・同解説」に基づき算出する。

全てのストップ接觸部に対する応力比が1以下になることを確認した。

ストップ接觸部の検討結果

| 部位 | 荷重ケース (位置) * | ストップ水平反力 N(kN) | 短期許容支圧力 Na(kN) | 応力比 N/Na | 判定 |
|--------|-----------------|-------------------|-------------------|-------------|----|
| 東側ストップ | E2 (B) | 3980 | 10300 | 0.39 | OK |

* : P23に示す燃料取扱設備の位置を示す



2) 基礎設置部

柱脚の鉛直反力により生じる直下壁の軸力が壁の許容軸力以下であることを確認する。
全ての基礎設置部に対する応力比が1以下になることを確認した。

壁の圧縮力の検討結果

| 部位 | 荷重ケース (位置) * | 軸力 N(kN) | 許容軸力 Na(kN) | 応力比 N/Na | 判定 |
|--------------|-----------------|-------------|----------------|-------------|----|
| 東側柱脚 (南側) | C (B) | 4280 | 12900 | 0.34 | OK |
| | E1 (B) | 6540 | 25900 | 0.26 | OK |

* : P23に示す燃料取扱設備の位置を示す

※O.P.表記は震災前の「旧 O.P.表記」を指す。

T.P.表記に換算する際は、震災後の地盤沈下量(-709mm)と O.P.から T.P.への読替値(-727mm)を用いて、下式に基づき換算する。

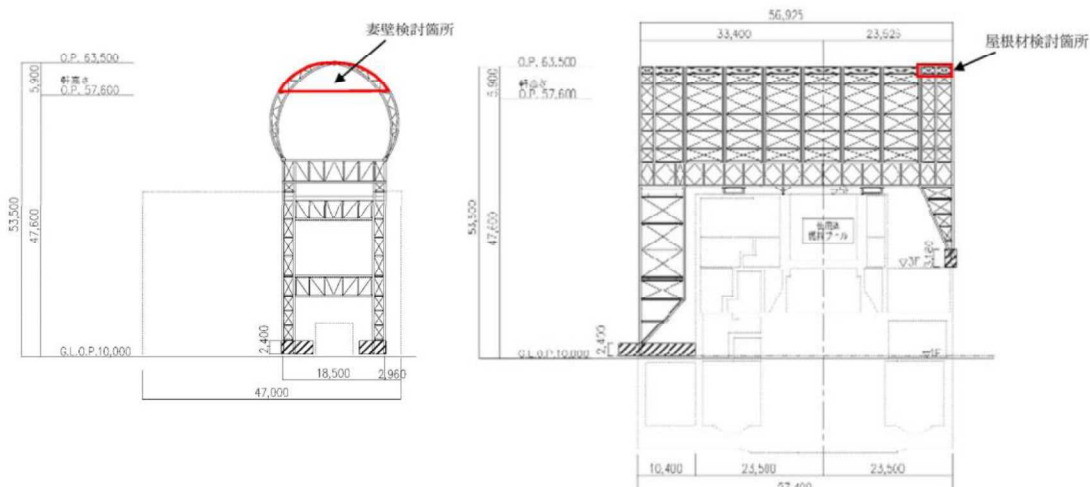
<換算式> T.P.=旧 O.P.-1,436mm

参考3 構造強度

(6) 外装材の構造強度に対する検討

1) 検討箇所

架構の屋根面及び側面を覆う外装材は、折板を用いる。強度検討は、壁材、屋根材それぞれに風圧力により生じる応力度が短期許容応力度以下であることを確認する。



外装材検討箇所 (単位: mm)



無断複製・転載禁止 東京電力株式会社

44

参考3 構造強度

(6) 外装材の構造強度に対する検討

3) 外装材の強度検討

全ての外装材に対する応力度比が1以下になることを確認した。

屋根材及び壁材の材料諸元

| 板厚 | 自重 | 正曲げ方向 | | 負曲げ方向 | |
|-------------|----------------------------|--|--|--|--|
| | | 断面2次モーメント | 断面係数 | 断面2次モーメント | 断面係数 |
| 0.8 (mm) | 118 (N/m ²) | I _x (cm ⁴ /m) | Z _x (cm ³ /m) | I _x (cm ⁴ /m) | Z _x (cm ³ /m) |
| 0.8 | 118 | 360 | 43.6 (13.1*) | 347 | 40.6 (12.2*) |

* : 活弧内の数値は折曲加工部を示す

応力度に対する検討結果

| 部位 | 作用応力度 (N/mm ²) | 許容応力度 (N/mm ²) | 応力度比 | 判定 |
|-------|-------------------------------|-------------------------------|------|------|
| ドーム屋根 | 189 | 205* | 0.93 | O.K. |
| 妻壁 | 109 | 205* | 0.54 | O.K. |

* : 「JIS G 3321-2010」による

(注) ドーム屋根外装材については、設計風圧力の約4倍の耐力を有することを試験により確認している。



無断複製・転載禁止 東京電力株式会社

45

※O.P.表記は震災前の「旧 O.P.表記」を指す。

T.P.表記に換算する際は、震災後の地盤沈下量(-709mm)と O.P.から T.P.への読替値(-727mm)を用いて、下式に基づき換算する。

<換算式> T.P.=旧 O.P.-1,436mm

参考4 耐震性

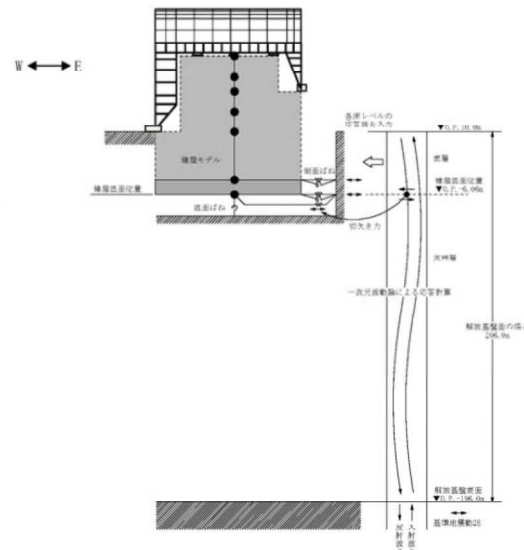
(1) 検討方針

耐震性の検討は、架構、水平振れ止め装置（ストッパー）、制震装置（オイルダンパー）、基礎、原子炉建屋接触部及び原子炉建屋の健全性について行い、基準地震動Ssに対して、これらの応答性状を適切に表現できる地震応答解析を用いて評価する。なお、地震応答解析は水平方向及び鉛直方向を同時に入力する。

(2) 架構の耐震性に対する検討

1) 解析に用いる入力地震動

検討用地震動は、「福島第一原子力発電所『発電用原子炉施設に関する耐震設計審査指針』の改訂に伴う耐震安全性評価結果 中間報告書」（東京電力株式会社、平成20年3月31日）にて作成した解放基盤表面で定義される基準地震動Ssを用いる。



地震応答解析に用いる入力地震動の概念図

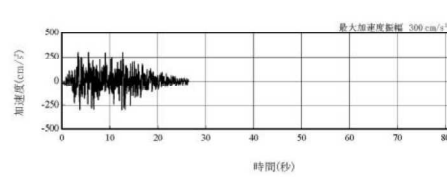
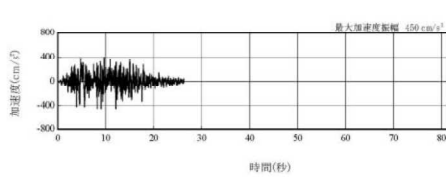
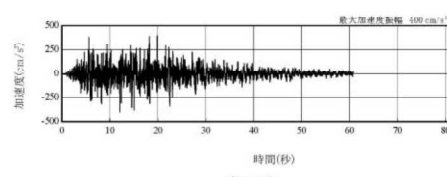
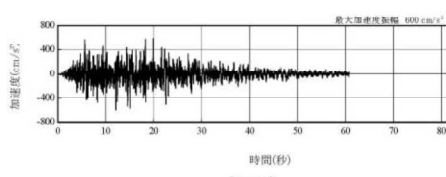
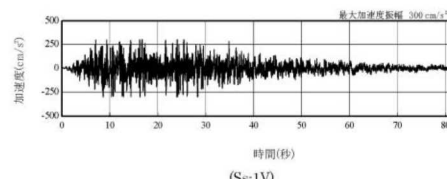
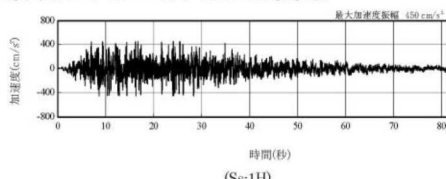
無断複製・転載禁止 東京電力株式会社

46

参考4 耐震性

(2) 架構の耐震性に対する検討

1) 解析に用いる入力地震動



解放基盤表面位置における地震動の
加速度時刻歴波形(水平方向)

東京電力

解放基盤表面位置における地震動の
加速度時刻歴波形(鉛直方向)

無断複製・転載禁止 東京電力株式会社

47

※O.P.表記は震災前の「旧 O.P.表記」を指す。

T.P.表記に換算する際は、震災後の地盤沈下量(-709mm)と O.P.から T.P.への読替値(-727mm)を用いて、下式に基づき換算する。

<換算式> T.P.=旧 O.P.-1,436mm

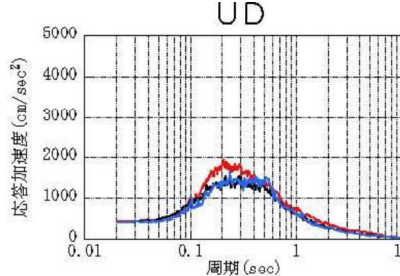
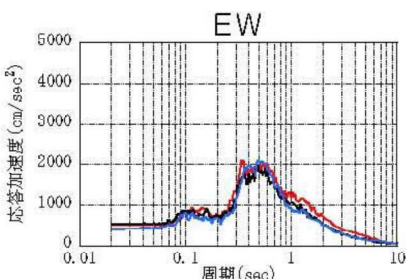
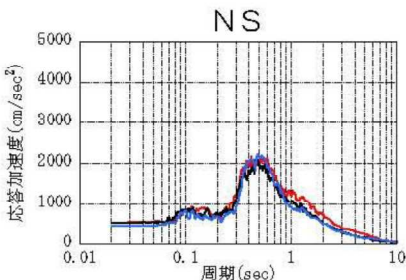
参考4 耐震性

(2) 架構の耐震性に対する検討

1) 解析に用いる入力地震動

建屋質点の応答解析結果（カバー架構の入力地震動に相当）

1F



東京電力
TEPCO

無断複製・転載禁止 東京電力株式会社

48

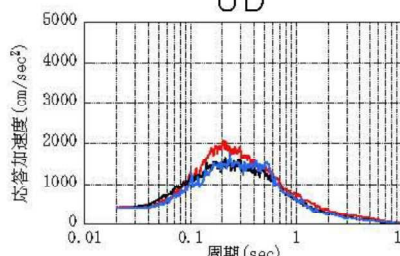
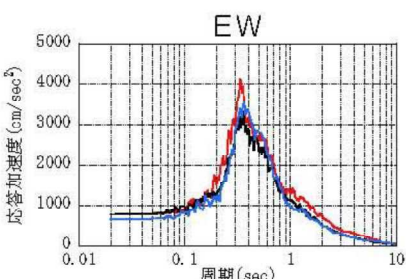
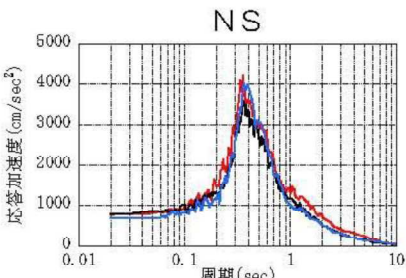
参考4 耐震性

(2) 架構の耐震性に対する検討

1) 解析に用いる入力地震動

建屋質点の応答解析結果（カバー架構の入力地震動に相当）

5F



東京電力
TEPCO

無断複製・転載禁止 東京電力株式会社

49

※O.P.表記は震災前の「旧 O.P.表記」を指す。

T.P.表記に換算する際は、震災後の地盤沈下量(-709mm)と O.P.から T.P.への読替値(-727mm)を用いて、下式に基づき換算する。

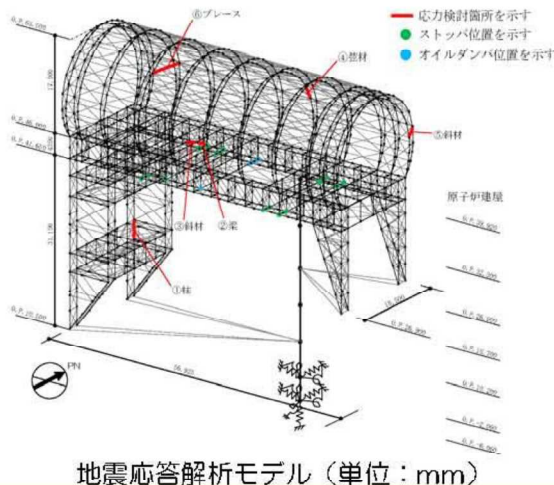
<換算式> T.P.=旧 O.P.-1,436mm

参考4 耐震性

(2) 架構の耐震性に対する検討

2) 地震応答解析モデル

地震応答解析モデルは、門型架構及びドーム屋根を構成する主要な鉄骨部材からなる立体架構を原子炉建屋の質点系モデルに接続した下図に示すモデルとし、地盤を等価なばねで評価した建屋-地盤連成系モデルとする。ストッパ取り付け部は原子炉建屋5階質点(O.P.39.92 m)と水平方向同一変位条件とし、鉛直方向の制震装置(オイルダンパー)は原子炉建屋の5階床上面4箇所に門型架構と5階床の鉛直方向相対変位が減少する場合に減衰力を発揮するばねに置換して立体架構モデルに組み込んでいる。



無断複製・転載禁止 東京電力株式会社

50

参考4 耐震性

(2) 架構の耐震性に対する検討

2) 地震応答解析モデル

地震応答解析に用いる物性値を下表に示す。門型架構及びドーム屋根の部材接合部の質点は仕上げ材等を考慮した重量とし、原子炉建屋の質点は瓦礫撤去の重量等を反映したP38に示す重量とする。門型架構の柱・梁及びドーム屋根の弦材は弾性部材とし、その他プレース等は「鉄骨X型フレーム架構の復元力特性に関する研究」(日本建築学会構造工学論文集37B号 1991年3月)に示されている修正若林モデルによる。また、原子炉建屋は、曲げとせん断に「JEAG 4601-1991」に示されている非線形特性を考慮する。

地震応答解析に用いる物性値

| 部位 | 材料 | ヤング率E[N/mm ²] | ボアソン比ν | 単位体積重量γ[kN/m ³] | 減衰定数h[%] | 備考 |
|----|----|---------------------------|--------|-----------------------------|----------|-----------------------------|
| 架構 | 鉄骨 | 205×10 ⁶ | 0.3 | 77.0 | 2 | SS400,SM490A,STK490,STKT590 |



無断複製・転載禁止 東京電力株式会社

51

※O.P.表記は震災前の「旧 O.P.表記」を指す。

T.P.表記に換算する際は、震災後の地盤沈下量(-709mm)と O.P.から T.P.への読替値(-727mm)を用いて、下式に基づき換算する。

<換算式> T.P.=旧 O.P.-1.436mm

参考4 耐震性

(2) 架構の耐震性に対する検討

2) 地震応答解析モデル

地震応答解析モデルのうち原子炉建屋の地震応答解析モデルの諸元

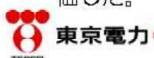
(a) 水平(NS)方向

| 標高 O.P. (m) | 質点重量* W (kN) | 回転慣性重量 $I_g (\times 10^5 \text{ kN}\cdot\text{m}^2)$ | せん断面積 $A_s (\text{m}^2)$ | 断面二次モーメント $I (\text{m}^4)$ |
|----------------|-----------------|---|---|-------------------------------|
| 39.92 | 72990 | 7695 | | |
| 32.3 | 119490 | 23833 | 145.3 | 25938 |
| 26.9 | 111140 | 20458 | 146.1 | 29271 |
| 18.7 | 130160 | 23958 | 237.3 | 56230 |
| 10.2 | 252510 | 46468 | 208.6 | 60144 |
| -2.06 | 301020 | 554.17 | 458.7 | 112978 |
| -6.06 | 127000 | 233.79 | 2697.8 | 496620 |
| 合計 | 1114310 | | ヤング係数E= $2.57 \times 10^7 \text{ (kN/m}^2)$ せん断弾性係数G= $1.07 \times 10^7 \text{ (kN/m}^2)$ ボアソン比ν= 0.20 減衰h= 5% | |

* 「福島第一原子力発電所の原子炉建屋の現状の耐震安全性および補強等に関する検討に係る報告書(その2)」(東京電力株式会社、平成23年7月13日)において用いた各階重量に瓦礫撤去

等による重量増減を考慮した数値(ただし、門型架構の重量12800kN及びドーム屋根重量3200kNは含まない)

地盤定数は、「福島第一原子力発電所『発電用原子炉施設に関する耐震設計審査指針』の改訂に伴う耐震安全性評価結果 中間報告書」(東京電力株式会社、平成20年3月31日)と同様としする。原子炉建屋の地盤ばねは、「JEAG 4601-1991」に示されている手法を参考にして、底面地盤を成層補正し振動アドミッタンス理論によりスウェイ及びロッキングばねを、側面地盤をNovakの方法により建屋側面ばねを評価した。



無断複製・転載禁止 東京電力株式会社

52

参考4 耐震性

(2) 架構の耐震性に対する検討

2) 地震応答解析モデル

固有値解析結果

| 次数 | 固有振動数 (Hz) | 固有周期 (秒) | 刺激係数 | | | 備考 |
|----|---------------|-------------|---------------|---------------|---------------|------------------|
| | | | NS方向 (X方向) | EW方向 (Y方向) | UD方向 (Z方向) | |
| 17 | 1.35 | 0.742 | 3.034 | -0.001 | -0.019 | ドーム屋根NS方向1次 |
| 25 | 1.78 | 0.561 | -0.056 | 2.478 | 0.422 | ドーム屋根EW方向1次 |
| 33 | 2.53 | 0.396 | 2.914 | -0.031 | -0.045 | 門型架構・原子炉建屋NS方向1次 |
| 34 | 2.65 | 0.377 | -0.111 | -7.751 | -0.073 | 門型架構・原子炉建屋EW方向1次 |
| 35 | 2.94 | 0.340 | 2.165 | -0.950 | 4.500 | 門型架構UD方向1次 |
| 54 | 4.30 | 0.233 | -0.428 | 0.038 | -40.498 | 原子炉建屋UD方向1次 |



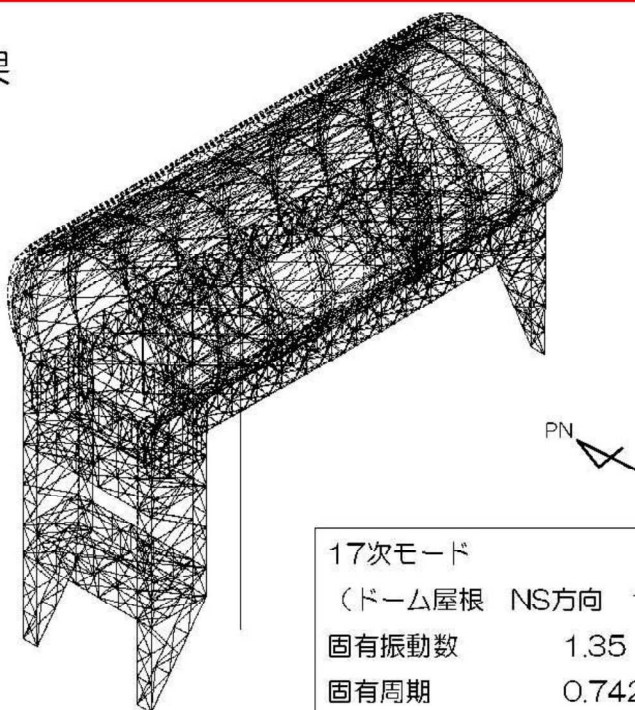
無断複製・転載禁止 東京電力株式会社

53

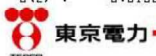
参考4 耐震性

固有値解析結果

1.000
1.000
1.000
PERIOD: 0.742356
B(X) : 3.03385
B(Y) : -0.00055
B(Z) : -0.01920



17次モード
(ドーム屋根 NS方向 1次)
固有振動数 1.35 Hz
固有周期 0.742 秒



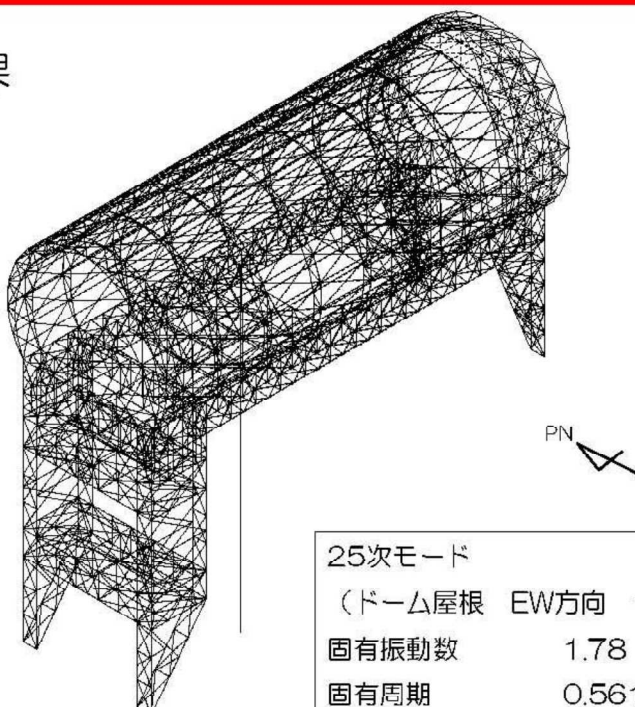
無断複製・転載禁止 東京電力株式会社

54

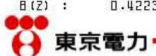
参考4 耐震性

固有値解析結果

1.000
1.000
1.000
PERIOD: 0.561250
B(X) : -0.05627
B(Y) : 2.47803
B(Z) : 0.42233



25次モード
(ドーム屋根 EW方向 1次)
固有振動数 1.78 Hz
固有周期 0.561 秒



無断複製・転載禁止 東京電力株式会社

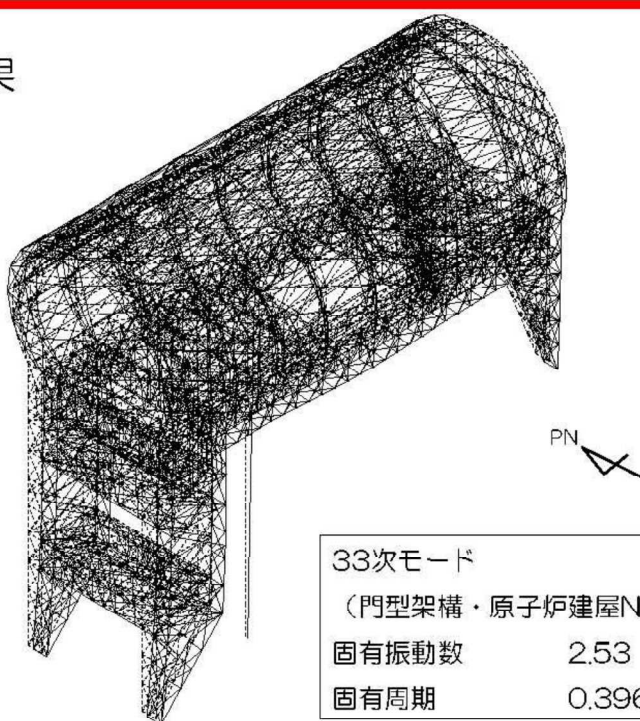
55

参考4 耐震性

固有値解析結果

1.000
1.000
1.000
PERIOD: 0.395631
B(X) : -2.91363
B(Y) : -0.03061
B(Z) : -0.04472

東京電力
TEPCO



33次モード
(門型架構・原子炉建屋NS方向1次)
固有振動数 2.53 Hz
固有周期 0.396 秒

無断複製・転載禁止 東京電力株式会社

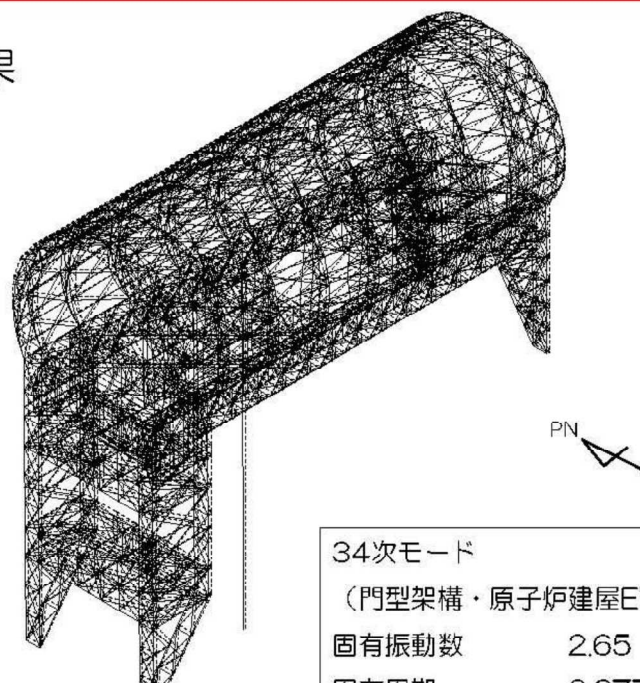
56

参考4 耐震性

固有値解析結果

1.000
1.000
1.000
PERIOD: 0.376820
B(X) : -0.11138
B(Y) : -7.75146
B(Z) : -0.07325

東京電力
TEPCO



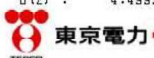
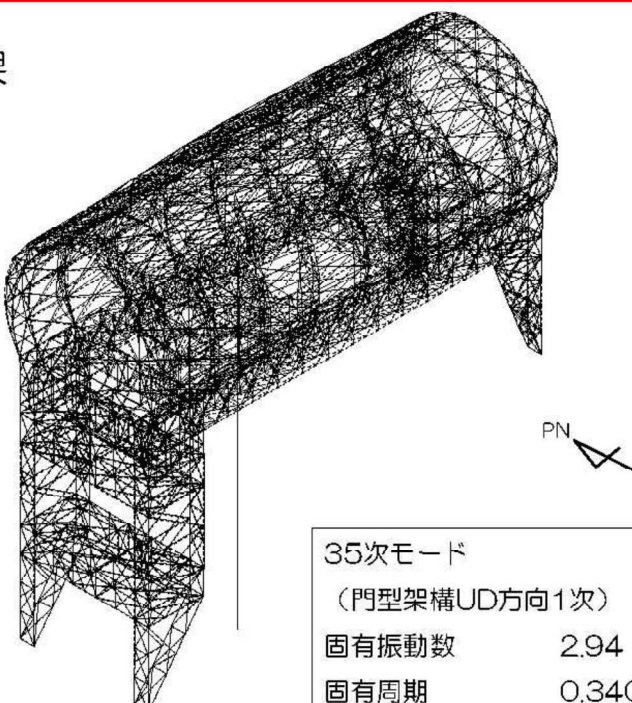
34次モード
(門型架構・原子炉建屋EW方向1次)
固有振動数 2.65 Hz
固有周期 0.377 秒

無断複製・転載禁止 東京電力株式会社

57

参考4 耐震性

固有値解析結果

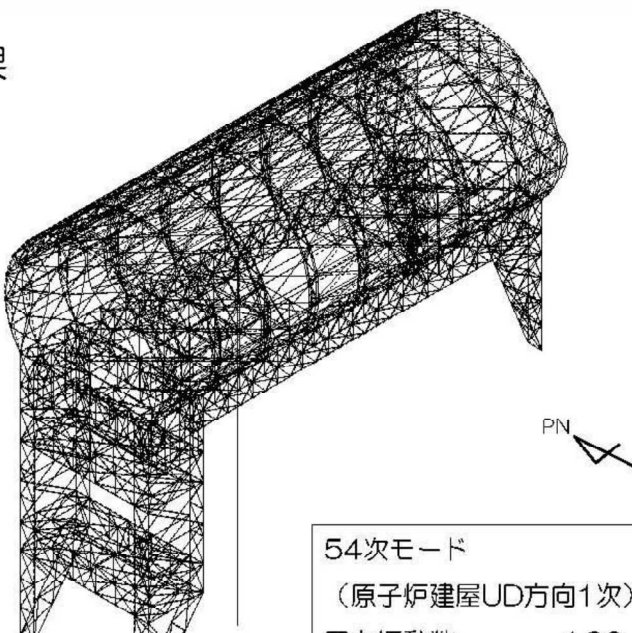


無断複製・転載禁止 東京電力株式会社

58

参考4 耐震性

固有値解析結果



無断複製・転載禁止 東京電力株式会社

59

※O.P.表記は震災前の「旧 O.P.表記」を指す。

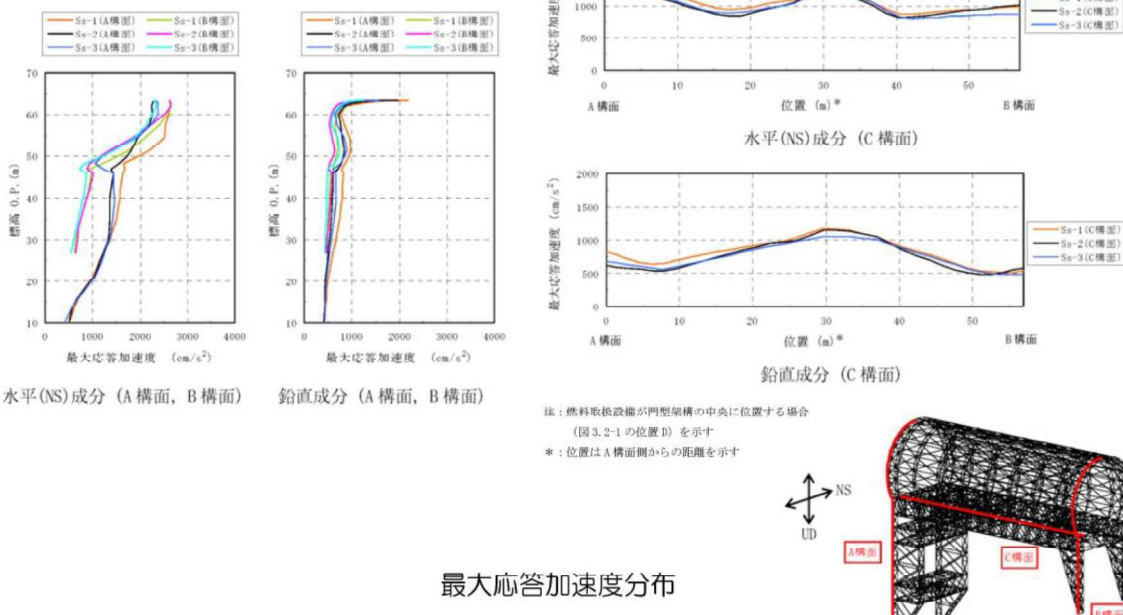
T.P.表記に換算する際は、震災後の地盤沈下量(-709mm)と O.P.から T.P.への読替値(-727mm)を用いて、下式に基づき換算する。

<換算式> T.P.=旧 O.P.-1,436mm

参考4 耐震性

(2) 架構の耐震性に対する検討

3) 地震応答解析結果



無断複製・転載禁止 東京電力株式会社

60

参考4 耐震性

(2) 架構の耐震性に対する検討

4) 波及的影響の評価

門型架構は、JSCE性能メニュー（社団法人日本建築構造技術者協会、2002年）を参考に定めたクライテリア（「層間変形角は1/75以下、層の塑性率は4以下、部材の塑性率は5以下」*）を満足することを確認する。ドーム屋根は、柱・梁によるフレームを構成しないため、JSCE性能メニューのうち部材の塑性率のクライテリアを満足することを確認する。

なお、解析結果が「時刻歴応答解析建築物性能評価業務方法書」（財団法人日本建築センター、平成19年7月20日）に示されるクライテリア（層間変形角は1/100以下、層の塑性率は2以下、部材の塑性率は4以下）を超える場合には水平変形に伴う鉛直荷重の付加的影響を考慮した解析を実施し、安全性を確認する。

* : 北村春幸、宮内洋二、浦本弥樹「性能設計における耐震性能判断基準値に関する研究」、日本建築学会構造系論文集、第604号、2006年6月



無断複製・転載禁止 東京電力株式会社

61

※O.P.表記は震災前の「旧 O.P.表記」を指す。

T.P.表記に換算する際は、震災後の地盤沈下量(-709mm)と O.P.から T.P.への読替値(-727mm)を用いて、下式に基づき換算する。

<換算式> T.P.=旧 O.P.-1,436mm

参考4 耐震性

(2) 架構の耐震性に対する検討

4) 波及的影響の評価

・層間変形角の検討

最大応答層間変形角は1/75以下となりクライテリアを満足することを確認した。

最大応答層間変形角の検討結果

| 検討箇所 | 地震波 | 入力方向(位置)* | 最大応答値 | 五行引 | 判定 |
|-------------------------------|------|-----------|--------|------|----|
| 東側 OP4600(m) ~OP2690(m) | Ss-1 | NS(A) | 1/820 | 1/75 | OK |
| | | EW(B) | 1/990 | 1/75 | OK |
| | Ss-2 | NS(B) | 1/990 | 1/75 | OK |
| | | EW(B) | 1/1000 | 1/75 | OK |
| | Ss-3 | NS(B) | 1/990 | 1/75 | OK |
| | | EW(B) | 1/1000 | 1/75 | OK |
| 西側 OP4600(m) ~OP1050(m) | Ss-1 | NS(A) | 1/720 | 1/75 | OK |
| | | EW(B) | 1/1600 | 1/75 | OK |
| | Ss-2 | NS(C) | 1/860 | 1/75 | OK |
| | | EW(B) | 1/1600 | 1/75 | OK |
| | Ss-3 | NS(C) | 1/800 | 1/75 | OK |
| | | EW(B) | 1/1800 | 1/75 | OK |

* : P23に示す燃料取扱設備の位置を示す



無断複製・転載禁止 東京電力株式会社

62

参考4 耐震性

(2) 架構の耐震性に対する検討

4) 波及的影響の評価

・塑性率の検討

全てのケースで耐力比が1を下回ることから塑性率は1未満となり、クライテリアを満足することを確認した。

耐力比の検討結果

| 部位*1 | | 部材形状 (mm) | 地震波 | 入力方向 (位置)*2 | 耐力比 | | 判定 |
|-------|--------|----------------------------------|------|----------------|------|------|----|
| 門型架構 | ① 柱 | H-350×350 ×12×19 <SM490A> | Ss-2 | NS (C) | C/Cu | 0.50 | OK |
| | ② 梁 | H-350×350 ×12×19 <SM490A> | Ss-1 | NS (C) | C/Cu | 0.45 | OK |
| | ③ 斜材 | 2ls-150×75 ×65×10 <SM490A> | Ss-1 | NS (C) | C/Cu | 0.75 | OK |
| ドーム屋根 | ④ 弦材 | ø-267.4×6.6 <STKT590> | Ss-1 | NS (D) | C/Cu | 0.63 | OK |
| | ⑤ 斜材 | ø-139.8×4.5 <STK190> | Ss-1 | EW (D) | C/Cu | 0.90 | OK |
| | ⑥ ブレース | ø-114.3×4.5 <STK490> | Ss-2 | EW (C) | C/Cu | 0.45 | OK |

*1 : ①~⑥の符号はP36の耐力検討箇所を示す

*2 : P23に示す燃料取扱設備の位置を示す

C : 部材軸方向の圧縮力の最大値

Cu : 座屈耐力

T : 部材軸方向の引張力の最大値

Tu : 引張耐力



無断複製・転載禁止 東京電力株式会社

63

参考4 耐震性

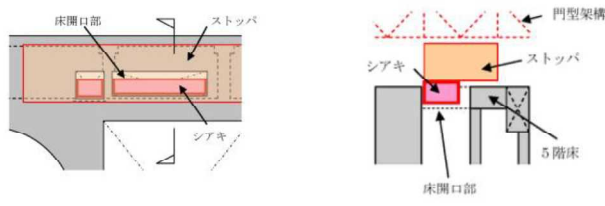
(3) 水平振れ止め装置（ストッパー）の耐震性に対する検討

全てのストッパーに対する耐力比が1以下になることを確認した。

ストッパー（シアキ）の断面検討結果

| 部位 | 地震波 | 入力方向（位置） | 最大応答 ストッパー反力 $Q(kN)$ | せん断耐力 $Qu(kN)$ | 耐力比 Q/Qu | 判定 |
|---------|------|----------|----------------------------|-------------------|---------------|----|
| 車側ストッパー | Ss-1 | EW (D) | 3970 | 9480 | 0.42 | OK |

* : P23に示す燃料取扱設備の位置を示す



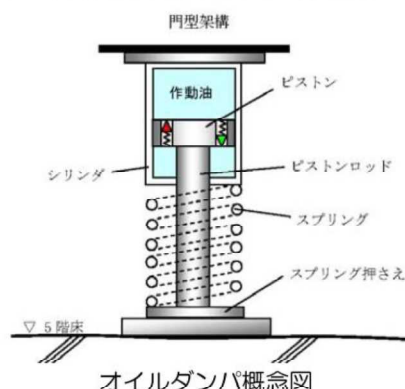
(a) 伏図 (b) 断面図

ストッパー概要図

参考4 耐震性

(4) 制震装置（オイルダンパー）の耐震性に対する検討

全てのオイルダンパーで最大応答値が許容値以下になることを確認した。



オイルダンパー概念図

オイルダンパーの検討結果

| 検討 | 地震波 | 入力方向（位置）* | 最大応答値 | 許容値 | 判定 |
|--------------------|------|-----------|-------|------|----|
| オイルダンパー変位 (mm) | Ss-3 | NS (D) | 72 | ±100 | OK |
| オイルダンパー速度 (m/s) | Ss-1 | NS (D) | 0.48 | 1.00 | OK |

* : P23に示す燃料取扱設備の位置を示す

参考4 耐震性

(5) 基礎の耐震性に対する検討

基礎の浮き上がりに対する検討では基礎反力(圧縮力を正)の最小値が以上であることを確認し、基礎のすべりに対する検討では基礎反力の水平力が摩擦耐力以下であることを確認した。

1) 基礎浮き上がりの検討

基礎浮き上がりの検討結果

| 部位 | 地震波 | 入力方向 (位置)* | 最小圧縮力 N(kN) | 判定 |
|--------------|------|---------------|----------------|------|
| 東側柱脚 (北側) | Ss-3 | NS (C) | 227 | O.K. |

* : P23に示す燃料取扱設備の位置を示す

2) 基礎すべりの検討

基礎すべりの検討結果

| 部位 | 地震波 | 入力方向 (位置)* | 最大水平力 Q(kN) | 摩擦耐力 Vu(kN) | 耐力比 Q/Vu | 判定 |
|------|------|---------------|----------------|----------------|-------------|------|
| 東側柱脚 | Ss-1 | EW (D) | 2810 | 4780 | 0.59 | O.K. |

* : P23に示す燃料取扱設備の位置を示す



無断複製・転載禁止 東京電力株式会社

66

参考4 耐震性

(6) 原子炉建屋接触部の耐震性に対する検討

1) ストップ接觸部

最大ストップ水平反力が、既存躯体の支圧耐力以下になることを確認する。なお、支圧耐力は、原子炉建屋の設計基準強度(22.1N/mm^2)を用いて「プレストレスコンクリート設計施工規準・同解説」に基づき算出する。

ストップ接觸部の検討結果

| 部位 | 地震波 | 入力方向 (位置)* | 最大ストップ 水平反力 N(kN) | 支圧耐力 Nu(kN) | 耐力比 N/Nu | 判定 |
|--------|------|---------------|-------------------------|----------------|-------------|------|
| 西側ストップ | Ss-1 | NS (C) | 10400 | 19600 | 0.54 | O.K. |

* : P23に示す燃料取扱設備の位置を示す

2) オイルダンパ接觸部

最大オイルダンパ鉛直反力が、既存躯体の支圧耐力以下になることを確認する。なお、支圧耐力は、原子炉建屋の設計基準強度(22.1N/mm^2)を用いて「プレストレスコンクリート設計施工規準・同解説」に基づき算出する。

オイルダンパ接觸部の検討結果

| 部位 | 地震波 | 入力方向 (位置)* | 最大水平力 Q(kN) | 摩擦耐力 Vu(kN) | 耐力比 Q/Vu | 判定 |
|------|------|---------------|----------------|----------------|-------------|------|
| 東側柱脚 | Ss-1 | EW (D) | 2810 | 4780 | 0.59 | O.K. |

* : P23に示す燃料取扱設備の位置を示す

3) 基礎設置部

柱脚の鉛直反力により生じる直下壁の最大軸力が壁の軸耐力以下であることを確認する。

壁の圧縮力の検討結果

| 部位 | 地震波 | 入力方向 (位置)* | 最大軸力 N(kN) | 軸耐力 Nu(kN) | 耐力比 N/Nu | 判定 |
|--------------|------|---------------|---------------|---------------|-------------|------|
| 東側柱脚 (南側) | Ss-3 | NS (B) | 7430 | 25900 | 0.29 | O.K. |

* : P23に示す燃料取扱設備の位置を示す



無断複製・転載禁止 東京電力株式会社

67

※O.P.表記は震災前の「旧 O.P.表記」を指す。

T.P.表記に換算する際は、震災後の地盤沈下量(-709mm)と O.P.から T.P.への読替値(-727mm)を用いて、下式に基づき換算する。

<換算式> T.P.=旧 O.P.-1.436mm

参考4 耐震性

(7) 原子炉建屋の耐震性に対する検討

1) 検討方針

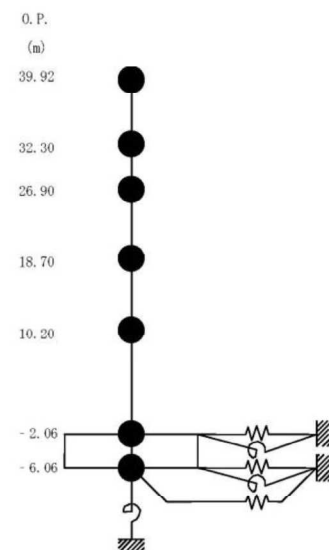
架構の設置に伴う原子炉建屋の耐震性の評価は、耐震安全上重要な設備への波及的影響防止の観点から、地震応答解析により得られる耐震壁のせん断ひずみが鉄筋コンクリート造耐震壁の終局限界に対応した評価基準値 (4.0×10^{-3}) 以下になることを確認する。

2) 原子炉建屋の地震応答解析

・入力地震動 基準地震動Ss

原子炉建屋の地震応答解析モデルは、右図に示すように質点系でモデル化し、地盤を等価なばねで評価した建屋-地盤連成系モデルとする。

地震応答解析モデルの諸元は、「福島第一原子力発電所の原子炉建屋の現状の耐震安全性および補強等に関する検討に係る報告書（その2）」（東京電力株式会社、平成23年7月13日）に示される内容に、瓦礫撤去等による重量増減及び新規に設置する燃料取り出し用カバーの重量を考慮した。



原子炉建屋の地震応答解析モデル



無断複製・転載禁止 東京電力株式会社

68

参考4 耐震性

(7) 原子炉建屋の耐震性に対する検討

2) 原子炉建屋の地震応答解析

原子炉建屋の地震応答解析モデルの諸元（水平方向）

| 標高 O.P. (m) | 質点重量 W (kN) | 回転慣性質量 $I_o (\times 10^5 \text{ kN}\cdot\text{m}^2)$ | |
|----------------|----------------|---|----------|
| | | 水平(INS)方向 | 水平(EW方向) |
| 39.92 | 87590 | 92.34 | 67.32 |
| 32.3 | 119490 | 238.33 | 124.49 |
| 26.9 | 111340 | 204.95 | 204.95 |
| 18.7 | 130160 | 239.58 | 239.58 |
| 10.2 | 253710 | 467.09 | 696.62 |
| -2.06 | 301020 | 554.17 | 826.50 |
| -6.06 | 127000 | 233.79 | 348.72 |
| 合計 | 1130310 | | |



無断複製・転載禁止 東京電力株式会社

69